

前 言

数学是所有理工科的基础，这本讲义是为同济大学电信专业开设拓扑学课程所写的。

目 录

前 言	i
第 1 章 基本概念	1
1.1 集合与映射	1
1.2 群	3
1.3 拓扑	6
1.4 等价关系和商集合	10
习题 1	12
第 2 章 同调群和基本群	13
2.1 道路与同伦	13
2.2 基本群	15
2.3 同调群	20
习题 2	25
第 3 章 曲线和曲面	26
3.1 刚体运动和 Lie 群	26
3.2 曲线	28
3.3 曲面	30

3.4 流形和 Riemann 几何	32
习题 3	34
参考文献	35

草稿，

请勿外传

第 1 章 基本概念

1.1 集合与映射

集合论是数学理论体系的基础，严格的定义要通过公理化的方式，不是本课程的内容。这里仅仅指出，集合的定义方式不能太过任意，我们只需知道，哪些集合的定义方式是“合法”的。首先，所有的整数、有理数、实数、复数分别构成集合，分别记为 \mathbf{Z} 、 \mathbf{Q} 、 \mathbf{R} 、 \mathbf{C} ，这是熟知的。对某个集合 S 中，满足某个数学条件 P 的元素全体构成集合，称为集合 S 的子集，以如下方式表示

$$\{x \in S : P\}.$$

例 1.1 全体正整数 $\{n \in \mathbf{Z} : n > 0\}$ 构成集合，是 \mathbf{Z} 的子集，记作 \mathbf{Z}^+ 。

由上述集合中的元素构成的有序组、矩阵或序列全体构成集合，这种集合的构造方式称为笛卡尔直积。

例 1.2 由两个实数构成有序数对全体 $\{(x, y) : x, y \in \mathbf{R}\}$ 构成的集合，通常记为 \mathbf{R}^2 或 $\mathbf{R} \times \mathbf{R}$ ，由 n 个实数构成有序数组全体构成的集合记为 \mathbf{R}^n 。

例 1.3 全体实数列 $\{\{x_n\} : x_n \in \mathbf{R}, n \in \mathbf{Z}^+\}$ 构成集合。

一个集合 S 的所有子集全体构成集合，称为该集合的幂集，记为 2^S 。

例 1.4 设 $S = \{0, 1\}$ ，则 $2^S = \{\emptyset, \{0\}, \{1\}, S\}$ 。

对给定的两个集合 S 和 T ，如果对任何 $s \in S$ ，有唯一确定的 $t_s \in T$ 与之对应，这种对应关系就称为自 S 到 T 的映射。若以 f 作为该映射的名称，则该映射通常记为

$$\begin{aligned} f: S &\rightarrow T \\ s &\mapsto t_s \end{aligned} \tag{1.1}$$

注 1.1 自 S 到 T 的映射全体构成集合。

例 1.5 映射

$$\begin{aligned} f: S &\rightarrow S \\ s &\mapsto s \end{aligned}$$

称为 S 上的恒同映射，记为 id_S 或 id 。

函数是数集到数集的映射，是最常见的一种映射，此时需要注意，若用 (1.1) 的形式描述函数，则 S 必须为函数 f 的定义域，但 T 不必为函数 f 的值域。

例 1.6 设定义在 \mathbf{R} 上的函数 f 的表达式为 $f(x) = x + 2$ ，该映射关系可记为

$$\begin{aligned} f: \mathbf{R} &\rightarrow \mathbf{R} \\ x &\mapsto x + 2 \end{aligned}$$

定义 1.1 对映射 $f: S \rightarrow T$ 和 $g: T \rightarrow R$ ，映射

$$x \mapsto f(x) \quad \text{和} \quad t \mapsto g(t)$$

$$\begin{aligned} g \circ f: S &\rightarrow R \\ s &\mapsto g(f(s)) \end{aligned}$$

称为映射 g 与 f 的**复合**。

关于映射，有下面几个重要的概念。

定义 1.2 对映射

$$\begin{aligned} f: S &\rightarrow T \\ s &\mapsto f(s) \end{aligned}$$

若对任何 $s_1 \neq s_2$ ，都有 $f(s_1) \neq f(s_2)$ ，则称映射 f 为**单射**；若对任何 $t \in T$ ，都存在 $s \in S$ ，使得 $f(s) = t$ ，则称映射 f 为**满射**；若 f 既是单射又是满射，则称映射 f 为**双射**。

注 1.2 对函数 $f: S \rightarrow T$ 而言，只有当该映射为满射时， T 才是 f 的值域，只有当 f 是双射时，才可以定义 T 到 S 的反函数 f^{-1} 。对一般的双射 f ，若 $f^{-1}: T \rightarrow S$ 满足 $f^{-1} \circ f = \text{id}_S$ ，则 f^{-1} 称为 f 的**逆映射**。

定义 1.3 设 f 为自 S 到 T 的映射， S_1 和 T_1 分别为 S 和 T 的子集，称集合

$$f(S_1) = \{f(s) : s \in S_1\}$$

为 S_1 关于映射 f 的**像集**，称集合

$$f^{-1}(T_1) = \{s : f(s) \in T_1\}$$

为 T_1 关于映射 f 的**完全原像集**。

注 1.3 在完全原像集的定义中， f 并不要求为双射， f^{-1} 在此处也不表示 f 的逆映射。

若集合中的元素个数有限，则该集合称为**有限集**，否则称为**无限集**。对有限集 S ，以 $|S|$ 记该集合的元素个数，约定 $|\emptyset| = 0$ 。

例 1.7 设 $S = \{0, 1\}$ ，则 $|S| = 2$ ， $|2^S| = 4$ 。

一般地，有下面的定理。

定理 1.1 若 S 为有限集，则 $|2^S| = 2^{|S|}$ 。

证明 留做习题

由上述定理可以看出用 2^S 作为幂集记号的原因。

如何描述无限集的元素“个数”，是集合论中非常有趣且重要的问题。仅仅以无限集的元素都是无限多个，就简单地认为无限集的元素个数都相同，这种分类方式过于粗糙。相比之下，下面的定义（分类方式）更加合理。

定义 1.4 对集合 S 与 T ，若存在自 S 到 T 的双射，则称 S 与 T 有相同的**基数或势**，记为 $\bar{S} = \bar{T}$ 。若存在自 S 到 T 的单射，则称 S 的基数不大于 T 的基数，记为 $\bar{S} \leq \bar{T}$ 。

显然, 当 S 与 T 为有限集时, $\bar{S} = \bar{T}$ 当且仅当 $|S| = |T|$, $|S| < |2^S|$. 对无限集, 通过基数, 可以做更细致的分类. 下面的定理直观上很明显, 但证明并不十分容易.

定理 1.2 (Bernstein) 若 $\bar{S} \leq \bar{T}$ 且 $\bar{T} \leq \bar{S}$, 则 $\bar{S} = \bar{T}$.

Bernstein 定理的证明可参考文献 [11] 的 1.4 节. 根据 Bernstein 定理, 可进一步规定, 若存在自集合 S 到 T 的单射, 但不存在 T 到 S 的单射, 则称集合 S 的基数小于 T 的基数, 记为 $\bar{S} < \bar{T}$. 特别, 有下面的定理.

定理 1.3 任何集合的基数一定小于其幂集的基数.

若记 $\mu = \bar{S}$, 则其幂集的基数也记为 2^μ , 则上述定理结论可简单描述为 $\mu < 2^\mu$. 该定理的证明可参考 [11].

对无限集, 通过基数, 可以做更细致的分类. 记 $a = \bar{\mathbf{Z}}^+$ (称为可列基数), $c = 2^a$ (称为连续统势), 则有 $\bar{\mathbf{Z}} = \bar{\mathbf{Q}} = a$, $\bar{\mathbf{R}} = \bar{\mathbf{C}} = \bar{\mathbf{R}}^n = c$. 换言之, 正整数集、整数集和有理数集有相同的基数; 实数集、复数集、2 维空间的点集、3 维空间的点集乃至 n 维空间的点集具有相同的更大的基数, 该基数恰为正整数的幂集的基数. 相关的证明和更多的结论, 可参考文献 [11] 的 1.4 节.

无限集的基数中, 是否存在介于 a 和 c 之间的基数, 特别, 实数集是否存在子集的基数介于 a 和 c 之间, 是数学的著名问题之一, 称为连续统假设, 前者在上世纪 40 年代被以一种惊人的结论得以回答, 后者至今尚无结论.

1.2 群

很多集合还具有更多的属性.

定义 1.5 设 G 是一个集合, $m: G \times G \rightarrow G$ 为映射, 且满足以下 3 条性质:

(1) 结合律: 对任意 $x, y, z \in G$, $m(m(x, y), z) = m(x, m(y, z))$;

(2) 左单位元: 存在 $e \in G$, 使得对任意 $x \in G$, $m(e, x) = x$;

(3) 左逆元: 对任意 $x \in G$, 存在 $x^{-1} \in G$, 使得 $m(x^{-1}, x) = e$,

此时 (G, m) 称为一个群, m 称为群 G 上的乘法运算 (或称 G 关于运算 m 构成群), $m(x, y)$ 简记为 xy . 进一步, 若乘法运算还满足

(4) 交换律: 对任意 $x, y \in G$, $xy = yx$,

则 (G, m) 称为一个 Abel 群或交换群.

注 1.4 可以证明, 群的左单位元必定也是右单位元, 即对一切群元素 g , 都有 $ge = g$; 任何一个元素的左逆元, 必定是右逆元, 即对一切群元素 g , 都有 $g^{-1}g = gg^{-1} = e$. 因此, 左单位元可简称为单位元, 左逆元可简称为逆元.

例 1.8 单独一个元素, 构成群. 此时, 该元素本身就是单位元. 这种群简记为 0.

例 1.9 整数集 \mathbf{Z} 关于加法运算构成 Abel 群, 称为整数加群.

例 1.10 \mathbf{Z}_m 关于加法运算构成 Abel 群.

例 1.11 设 S 为非空集合, 则由 S 到 S 的全体双射构成的集合, 关于映射的复合运

算, 构成群, 称为作用在 S 上的**置换群**. 当 $S = \{1, 2, \dots, n\}$ 时, 作用在其上的置换群记为 S_n , 该群中的每一个元素称为 S 上的一个**置换**. 有一类特殊的置换, 其映射规则为: 对 $a_1, a_2, \dots, a_k \in S$,

$$a_1 \mapsto a_2, a_2 \mapsto a_3, \dots, a_{k-1} \mapsto a_k, a_k \mapsto a_1,$$

而将其他 S 中的元素, 映射为自身, 这种双射称为 S 上的**轮换**, 记作 $(a_1 a_2 \dots a_k)$. 可以证明, 任何一个置换均可表示为有限个无公共元素的轮换的复合. 容易验证, 对一切 $n > 2$, S_n 都不是交换群.

例 1.12 n 阶可逆实 (复) 矩阵全体构成的集合关于矩阵乘法构成群, 该群称为**一般线性群**, 记作 $\text{GL}(n, \mathbf{R})$ (对复情形, 记为 $\text{GL}(n, \mathbf{C})$).

例 1.13 n 阶行列式为 1 的实 (复) 矩阵全体构成的集合关于矩阵乘法构成群, 该群称为**特殊线性群**, 记作 $\text{SL}(n, \mathbf{R})$ (对复情形, 记为 $\text{SL}(n, \mathbf{C})$).

例 1.14 n 阶正交矩阵 (即满足 $\mathbf{A}\mathbf{A}^T = \mathbf{E}$ 的实矩阵) 全体构成的集合关于矩阵乘法构成群, 该群称为**正交线性群**, 记作 $\text{O}(n)$. 所有行列式为 1 的 n 阶正交矩阵 (这类矩阵称为**第一类正交矩阵**) 全体构成的集合关于矩阵乘法构成群, 该群记作 $\text{SO}(n)$.

将群按照集合的元素个数, 可分为有限群和无限群两类, 上述的例子中, \mathbf{Z}_m 和 S_n 是有限群, 剩余的均为无限群. 而在无限群中, \mathbf{Z} 是可数的, 在群分类中属于**离散群**, 剩余的例子可以证明均具有连续统势, 在群分类中属于**连续群** (在后续章节还将进一步指出, 这些群具有很好的几何结构, 统称为 **Lie 群**).

定义 1.6 设 G 关于运算 m 构成群, H 作为集合是 G 的子集, 且关于运算 m 也构成群, 则群 H 称为 G 的**子群**.

例 1.15 对任何一个群 G , $\{e\}$ 与 G 都是 G 的子群, 这两个子群是平凡的.

例 1.16 $\text{SL}(n, \mathbf{R})$ 和 $\text{SO}(n)$ 都是 $\text{GL}(n, \mathbf{R})$ 的子群, 而 $\text{SO}(n)$ 又是 $\text{SL}(n, \mathbf{R})$ 的子群.

由集合到其自身的映射称为该集合上的一个变换, 而任何一个群都可以看作某个集合上的一类变换. 事实上, 对群 G , 可以看作定义在其自身上的一类变换.

例 1.17 (群上的平移) 对任意 $g \in G$, 定义映射

$$\begin{array}{ll} L_g : G \rightarrow G & R_g : G \rightarrow G \\ h \mapsto gh & h \mapsto hg \end{array}$$

分别称为群 G 上的**左平移**与**右平移**. 不难证明, 任何群 G 上的平移都是双射, 且对任意 $g_1, g_2 \in G$,

$$L_{g_1 g_2} = L_{g_1} \circ L_{g_2}, R_{g_1 g_2} = R_{g_2} \circ R_{g_1},$$

特别, 当 $|G| = n$ 时, G 中元素可以左平移的方式看作 G 上的置换.

例 1.18 (群的共轭变换) 对任意 $g \in G$, 定义映射

$$\begin{array}{l} C_g : G \rightarrow G \\ h \mapsto ghg^{-1} \end{array}$$

称为群 G 上的一个共轭变换. 不难证明,

$$C_g = L_g \circ R_{g^{-1}}, C_{g_1 g_2} = C_{g_1} \circ C_{g_2},$$

于是当 $|G| = n$ 时, G 中元素可以共轭变换的方式看作 G 上的置换.

注 1.5 当 $g_1 \neq g_2$ 时, 必有 $L_{g_1} \neq L_{g_2}$, 所以当 $|G| = n$ 时, G 可以左平移的方式整体地看作 S_n 的子群, 但 $C_{g_1} \neq C_{g_2}$ 未必成立, 故 G 不能以共轭变换的方式, 看作 S_n 的子群.

例 1.19 $GL(n, \mathbf{R})$ 中的元素, 可看作 \mathbf{R}^n 上的线性变换.

注 1.6 群是一个相对抽象的概念, 然而某个集合上的变换则是一个相对直观的概念, 上述的做法都将群元素看作某个集合上的变换, 且这种对应方式还保持了群的运算关系, 上述对应称为群的表示. 群的表示是群理论的一个重要内容, 是研究群结构的重要方法.

定义 1.7 设 G_1 和 G_2 为群, 映射 $\sigma: G_1 \rightarrow G_2$ 满足对任何 $g, h \in G_1$, $\sigma(gh) = \sigma(g)\sigma(h)$, 则称 σ 为群 G_1 到 G_2 的同态. 进一步, 若 σ 为双射, 则称 σ 为群 G_1 到 G_2 的同构.

群的同构, 顾名思义, 指两个群的“结构”相同. 具体地说, 两个群有相同的元素个数 (或基数), 且群的运算关系本质上也是相同的, 差别仅仅是两个群的元素和运算用了不同的记法. 因此, 对两个同构的群, 完全可以视为等同. 由此衍生出一个重要的问题: 群有多少种本质不同的结构? 所谓群的结构, 就是研究群能与何种典型的群同构, 本节的例子中提到的群, 均可视为典型的群.

例 1.20 设 G 有所有形如 a^n ($n \in \mathbf{Z}$) 的元素构成, 这里 a 是一个文字符号, G 上的乘法运算定义为

$$a^n \cdot a^m = a^{n+m},$$

易见 G 关于上述乘法运算构成 Abel 群, 且与整数加群同构.

有些群, 虽然不与某个典型的群同构, 但可以由某些典型的群的直积得到.

例 1.21 在直积集合 $\mathbf{Z} \times \mathbf{Z}$ 上定义加法运算

$$(x_1, x_2) + (y_1, y_2) = (x_1 + x_2, y_1 + y_2),$$

则 $\mathbf{Z} \times \mathbf{Z}$ 关于上述定义加法构成 Abel 群, 该群通常记作 $\mathbf{Z} \oplus \mathbf{Z}$.

例 1.22 设 G_1 和 G_2 分别由形如 a^m 和 b^n 的元素 ($m, n \in \mathbf{Z}$) 以例 1.20 的方式构成的群. 定义 $G_1 * G_2$ 为由有限个形如 $a^m b^n$ 作形式乘法得到的表达式的全体构成的集合, 其中 a^0 与 b^0 视为等同的单位元, 形式乘法满足结合律, 但任何 a^m 与 b^n 的形式乘法都不满足交换律, 则可以验证 $G_1 * G_2$ 关于形式乘法构成群. 由于 G_1 和 G_2 均同构于整数加群, 从而该群也被记为 $\mathbf{Z} * \mathbf{Z}$.

将上述例子中的整数加群改为一般的群, 也可以构成相应的直积群, 参见课后习题.

根据上述的想法, 数学家猜想, 是否任何一个群都可以分解成一些简单的群的某种直积, 而这些简单的群都不能再继续分解了. 这个问题的解答相当困难, 即便对 Abel 群, 也需要相当的篇幅. 这里仅仅陈述关于有限生成 Abel 群的一个定理.

定义 1.8 设 G 为 Abel 群, 群运算记为加法, 且存在 G 中元素 g_1, g_2, \dots, g_k , 使得 G 中所有元素均可表示为如下形式

$$m_1 g_1 + m_2 g_2 + \dots + m_k g_k \quad (m_1, m_2, \dots, m_k \in \mathbf{Z}),$$

这里 $m_k g_k$ 表示 $|m_k|$ 个 g_k (若 m_k 为正) 或 $-g_k$ (若 m_k 为负) 连加的和, 则该群称为有限生成的, g_1, g_2, \dots, g_k 称为 G 的一组生成元.

定理 1.4 (有限生成 Abel 群的分类) 任何有限生成 Abel 群 G 必同构于

$$\underbrace{\mathbf{Z} \oplus \mathbf{Z} \oplus \cdots \oplus \mathbf{Z}}_{m \text{ 个}} \oplus \mathbf{Z}_{d_1} \oplus \cdots \oplus \mathbf{Z}_{d_n},$$

这里 m 称为群 G 的 **Betti 数**, 整数 $d_1 | d_2 | \cdots | d_n$, 称为群 G 的不变因子.

同态与同构的概念可以推广的更多的代数范畴上. 例如两个线性空间之间, 也可以定义同态, 只要该映射保持线性空间的运算 (即该映射和线性空间的运算次序是可交换的).

定义 1.9 若 $f: G \rightarrow H$ 为同态, 则记 $\text{im } f = f(G)$, 称为 f 的像, 称 H 中单位元的完全原像集为 f 的核, 记为 $\ker f$.

在上述定义中, 若 G 和 H 为群, 且群的单位元记为 e , 则 $\ker f = f^{-1}(\{e\})$; 若 G 和 H 为线性空间, 则 $\ker f = f^{-1}(\{0\})$.

1.3 拓扑

对一个非空集合, 如果要进一步刻画集合中元素之间的位置关系, 就需要为该集合定义拓扑. 对实数集而言, 定义拓扑需先从邻域开始.

定义 1.10 对 $x \in \mathbf{R}^n$, $\delta > 0$, 称

$$V(x, \delta) = \{y \in \mathbf{R}^n : \|y - x\| < \delta\}$$

为 x 的 δ -邻域, 这里 $\|y - x\|$ 为 x 到 y 的欧氏距离.

直观上看, 邻域描述了一个点的“附近”有哪些点. 借助邻域, 可以进一步定义内点和开集.

定义 1.11 设 $E \subset \mathbf{R}^n$, 若对任何 $x \in E$, 存在 $\delta > 0$, 使得 $V(x, \delta) \subset E$, 则称 x 为 E 的一个内点. 若 \mathbf{R}^n 的某子集的一切点均为内点, 则称该集合为 \mathbf{R}^n 上的开集.

定理 1.5 \mathbf{R}^n 上的全体开集满足以下性质:

- (1) 空集 \emptyset 和 \mathbf{R}^n 都是开集;
- (2) 若 O_1, O_2 为开集, 则 $O_1 \cap O_2$ 为开集;
- (3) 若 $O_\lambda, \lambda \in \Lambda$ 均为开集, 则 $\bigcup_{\lambda \in \Lambda} O_\lambda$ 为开集.

证明 (1) 由于空集中没有点不是内点, 故空集是开集. \mathbf{R}^n 是开集是显然的.

(2) 不妨设 $O_1 \cap O_2 \neq \emptyset$. 任取 $x \in O_1 \cap O_2$, 由 O_1, O_2 为开集得, 存在 $\delta_1, \delta_2 > 0$, 使得 $V(x, \delta_1) \subset O_1, V(x, \delta_2) \subset O_2$. 令 $\delta = \min\{\delta_1, \delta_2\}$, 则 $V(x, \delta) \subset O_1 \cap O_2$, 故 $O_1 \cap O_2$ 为开集.

(3) 不妨设 $\bigcup_{\lambda \in \Lambda} O_\lambda$ 不为空集. 任取 $x \in \bigcup_{\lambda \in \Lambda} O_\lambda$, 则存在 $\lambda \in \Lambda$, 使得 $x \in O_\lambda$. 由 O_λ 为开集, 故存在 $\delta > 0$, 使得 $V(x, \delta) \subset O_\lambda$, 从而 $V(x, \delta) \subset \bigcup_{\lambda \in \Lambda} O_\lambda$, 故 $\bigcup_{\lambda \in \Lambda} O_\lambda$ 为开集.

所谓拓扑, 就是一个集合上的所有开集全体构成的集合, 其严格的定义如下.

定义 1.12 对一个非空集合 X , 若 \mathcal{T} 是由 X 的某些子集构成的集合, 且满足

- (1) $\emptyset, X \in \mathcal{T}$;
- (2) 若 $O_1, O_2 \in \mathcal{T}$, 则 $O_1 \cap O_2 \in \mathcal{T}$;
- (3) $O_\lambda \in \mathcal{T} \lambda \in \Lambda$, 则 $\bigcup_{\lambda \in \Lambda} O_\lambda \in \mathcal{T}$,

则 \mathcal{T} 称为 X 上的拓扑, \mathcal{T} 中元素称为 X 上的开集, (X, \mathcal{T}) 称为一个拓扑空间. 在明确拓扑定义的前提下, 也可以简称 X 为拓扑空间.

注 1.7 根据定义 1.12, 一个集合上可以定义多种不同的拓扑. 再根据定理 1.5, \mathbf{R}^n 上全体开集构成的集合构成 \mathbf{R}^n 上的一个拓扑, 称为 \mathbf{R}^n 上的通常拓扑, 后续章节中但凡涉及到的 \mathbf{R}^n 上的拓扑都是指这一种.

注 1.8 拓扑可以定义在任意一个集合上, 是一个非常一般的概念. 在一个集合上定义了拓扑, 相当于规定了一个元素的“附近”有哪些元素. 从这个意义上说, 拓扑刻画了集合元素之间的某种位置关系.

与开集相对的概念是闭集.

定义 1.13 设 (X, \mathcal{T}) 是拓扑空间, $F \subset X$, 若 $F^c \in \mathcal{T}$ (即 F^c 为 X 上的开集), 则 F 称为 X 上的闭集.

定理 1.6 设 (X, \mathcal{T}) 是拓扑空间, 则 X 上的全体闭集满足以下性质:

- (1) 空集 \emptyset 和 X 都是闭集;
- (2) 若 F_1, F_2 为闭集, 则 $F_1 \cup F_2$ 为闭集;
- (3) 若 $F_\lambda (\lambda \in \Lambda)$ 为闭集, 则 $\bigcap_{\lambda \in \Lambda} F_\lambda$ 为闭集.

证明留作习题.

例 1.23 在 \mathbf{R} 上, 开区间是开集, 闭区间 (包括一端为闭, 一端为无穷的区间) 是闭集, 有限点集是闭集.

注 1.9 开集和闭集不是互斥的概念, 某个集合可能既是开集也是闭集, 例如空集和全集; 也可能既不是开集也不是闭集, 例如 \mathbf{R} 上的有限半开半闭区间 $[a, b)$.

当考虑的全空间为 \mathbf{R}^n 的子集时, 通常利用 \mathbf{R}^n 上的拓扑, 定义子集上的拓扑.

定理 1.7 若 $X \subset \mathbf{R}^n$, 则 $\mathcal{T} = \{O \cap X : O \text{ 为 } \mathbf{R}^n \text{ 上的开集}\}$ 为 X 上的拓扑, 称为 \mathbf{R}^n 上的拓扑在 X 上的诱导拓扑.

证明留作习题.

推论 1.8 若 $X \subset \mathbf{R}^n$, 其上拓扑取诱导拓扑, 则 E 为 X 上的闭集当且仅当存在 \mathbf{R}^n 上的闭集 F 使得 $E = F \cap X$.

本课程中, 不做特殊说明, 考虑的都是通常拓扑下的 \mathbf{R}^n 或其诱导拓扑下的子空间.

定义 1.14 设 (X, \mathcal{T}) 为拓扑空间, $S \subset X$, 称 $\bar{S} = \bigcap \{F \subset X : F \text{ 为 } X \text{ 上的闭集}\}$ 为 S 的闭包.

由定义易见, \bar{S} 是包含 S 的最小闭集.

例 1.24 有理数集 \mathbf{Q} 在 \mathbf{R} 上的闭包 $\bar{\mathbf{Q}} = \mathbf{R}$. 这是因为对于任意实数 y 的任意邻域, 总包含有理数, 于是 y 不会是包含 \mathbf{Q} 的闭集的补集中的点.

集合一旦赋予了拓扑, 就可以谈论集合之间映射的连续性.

定义 1.15 设 X 与 Y 为拓扑空间, 映射 $f: X \rightarrow Y$ 称为连续的, 如果对任何 Y 上的开集 O , $f^{-1}(O)$ 是 X 上的开集. 若 $D \subset X$, 映射 $g: D \rightarrow Y$ 称为连续的, 如果对任何 Y 上的开集 O , $g^{-1}(O)$ 是 D 作为 X 的子空间上的开集.

可以证明, 当 $X = \mathbf{R}^m$, $Y = \mathbf{R}^n$ 时, 上述连续映射的定义与数学分析中以极限的方式定义的连续性等价.

对连续映射, 下面的结论是容易得到的.

定理 1.9 若 $f: X \rightarrow Y$ 和 $g: Y \rightarrow Z$ 均为定义在拓扑空间间的连续映射, 则复合映射 $g \circ f: X \rightarrow Z$ 也是连续的.

定义 1.16 设 X 与 Y 为拓扑空间. 若存在连续的双射 $f: X \rightarrow Y$, 且逆映射 $f^{-1}: Y \rightarrow X$ 也是连续的, 则称 X 与 Y 同胚, 映射 f 称为一个同胚映射.

顾名思义, 两个拓扑空间是同胚的, 即表示这两个拓扑空间可以被同一块“胚”制成. 如果将“胚”想象成“橡皮泥”, 则两个空间可以被同一块橡皮泥制成, 但在制作过程中, 不允许“切割”和“粘接”. 这是因为, “切割”将一个点变成了两个点; “粘接”则将两个点变成了一个点.

例 1.25 拓扑空间 X 上的恒同映射

$$\begin{aligned} 1_X: X &\rightarrow X \\ x &\mapsto x \end{aligned}$$

是 X 到其自身的同胚.

定理 1.10 拓扑空间 X 与 Y 同胚, 当且仅当存在连续映射 $f: X \rightarrow Y$ 与 $g: Y \rightarrow X$, 使得 $g \circ f = 1_X$, $f \circ g = 1_Y$.

例 1.26 任何两个开区间都是同胚的.

证明 只须证明任何开区间与 $(0, 1)$ 同胚. 分三种情形证明.

(1) 有限开区间 (a, b) 与 $(0, 1)$ 同胚. 此时, $f(t) = a(1-t) + bt$ 是 $(0, 1)$ 到 (a, b) 的同胚.

(2) $(-\infty, +\infty)$ 与 $(0, 1)$ 同胚. 此时, $f(t) = \tan x$ 是 $(0, \frac{\pi}{2})$ 到 $(-\infty, +\infty)$ 的同胚, 而 $(0, \frac{\pi}{2})$ 与 $(0, 1)$ 同胚, 故 $(-\infty, +\infty)$ 与 $(0, 1)$ 的同胚.

(3) $(a, +\infty)$ 与 $(0, 1)$ 同胚. 此时, $f(t) = \frac{a}{x}$ 是 $(a, +\infty)$ 到 $(0, 1)$ 的同胚.

例 1.27 凸多边形 (边界) 和圆 (周) 同胚; 凸多面体 (表面) 和球 (面) 同胚¹.

证明 易见任意两个圆 (周) 同胚, 任意两个球 (面) 同胚.

在凸多边形内部任意取定一点, 记为 O , 以 O 为圆心, 充分大的半径作圆, 使得凸多边形位于圆的内部. 于是, 对圆周上任意一点 A , 连接 AO , 则线段 AO 必与凸多边形交于唯一一点, 记该点为 $P(A)$, 则 $P: A \mapsto P(A)$ 是圆周到凸多边形边界的同胚. 要将该同胚延拓到圆内, 只须对 OA 上任意一点 Y , 令 $P(Y) = \frac{|Y|}{|X|} \frac{P(X)}{|P(X)|}$, 这里 $|\cdot|$ 表示该点到 O 的距离.

¹凸多边形是指, 该多边形位于任何一条边所在直线的同一侧; 凸多面体是指, 该多面体位于任何一个面所在平面的同一侧.

凸多面体（表面）到球（面）的同胚构造是类似的．证毕．

判断两个拓扑空间是否同胚，是拓扑学中的一个核心问题，这件事并不容易．特别是论证两个空间不同胚，无法采用构造性的方法．因此寻找同胚变换下的不变性质，是拓扑学中的重要研究方向．

接下来，介绍三个与拓扑相关的重要定义．

定义 1.17 设 (X, \mathcal{T}) 为拓扑空间， $S \subset X$ ．若开集簇 $\{O_\lambda : \lambda \in \Lambda\}$ 满足 $S \subset \bigcup \{O_\lambda : \lambda \in \Lambda\}$ ，则称 $\{O_\lambda : \lambda \in \Lambda\}$ 为 S 的一个**开覆盖**．若对 S 的任何一个开覆盖 $\{O_\lambda : \lambda \in \Lambda\}$ ，都存在有限集 $\Delta \subset \Lambda$ ，使得 $\{O_\lambda : \lambda \in \Delta\}$ 也是 S 的开覆盖（称为原开覆盖的**子覆盖**），则称 S 为 X 上的**紧集**．

下述定理给出了 \mathbf{R}^n 的子集为紧集的等价刻画．

定理 1.11 (Borel) \mathbf{R}^n 上的子集 S 是紧的当且仅当 S 为有界闭集．

定义 1.18 设 (X, \mathcal{T}) 为拓扑空间， $S \subset X$ ．若存在两个不交开集 O_1, O_2 且满足 $O_1 \cap S \neq \emptyset, O_2 \cap S \neq \emptyset, S \subset O_1 \cup O_2$ ，则称 S 为**不连通的**，否则称 S 为**连通的**．

直观上看，连通的集合，是不能被两个不交开集“分离”的．下面的定理给出了连通的等价刻画．

定理 1.12 S 为拓扑空间 X 上的连通集，当且仅当 X 在 S 的诱导拓扑中，仅有空集和 S 是既开且闭的．

比连通更加直观的定义是道路连通．

定义 1.19 设 (X, \mathcal{T}) 为拓扑空间， $S \subset X$ ．若对于任何 $x, y \in S$ ，存在连续映射 $f : [0, 1] \rightarrow S$ ，使得 $x = f(0), y = f(1)$ ，则称 S 为**道路连通的**， f 为连接 x, y 的一条**道路**．

一个集合是道路连通的，直观上看，该集合上的任意两个点，都可以被一条落在该集合内的连续曲线连接起来．该连续曲线，就是上述定义中“道路”的像集．

道路连通和连通有关系，但不等价．

定理 1.13 若 S 为拓扑空间 X 上的道路连通集，则 S 为 X 上的连通集．

上述定理的逆定理不成立，反例参见 [4]．

紧性、连通性和道路连通性在连续映射下，都是保持的，这就是下面的定理．

定理 1.14 设 X, Y 是拓扑空间， $D \subset X$ ， $f : D \rightarrow Y$ 为连续映射，则

- (1) 若 D 是紧的，则 $f(D)$ 也是紧的；
- (2) 若 D 是连通的，则 $f(D)$ 也是连通的；
- (3) 若 D 是道路连通的，则 $f(D)$ 也是道路连通的．

推论 1.15 若 X, Y 是拓扑空间且是同胚的，则若其中一个空间是紧的（或连通的，或道路连通的），则另一个空间也必定是紧的（或连通的，或道路连通的）．

注 1.10 类似紧性、连通性、道路连通性这种在同胚变换下保持不变的性质，统称为**拓扑性质**或**拓扑不变量**．

例 1.28 $(0, 1)$ 和 $[0, 1]$ 不同胚．这是因为 $[0, 1]$ 是有界闭集，从而是紧的，但 $(0, 1)$ 不是

有界闭集，从而不是紧的。

例 1.29 $[-1, 1]$ 和正方形 $[-1, 1] \times [-1, 1]$ 不同胚。若不然，设 $f : [-1, 1] \rightarrow [-1, 1] \times [-1, 1]$ 是同胚映射，则 $[-1, 1] \setminus \{0\}$ 和 $[-1, 1] \times [-1, 1] \setminus \{f(0)\}$ 也是同胚的，前者不连通，后者是道路连通的，从而连通，矛盾。

从上述两个例子可以看出，如果两个拓扑空间的拓扑性质不同，则两个空间就不会同胚。但对复杂的拓扑空间，仅从紧性、连通性、道路连通性来判别两个空间是否同胚，远远不够，还需要挖掘更多的拓扑不变量。

好的拓扑不变量，如同生物的 DNA。生物的 DNA 是可检测的，且几乎可以完全准确地判断生物之间的亲缘关系，如果存在一种拓扑不变量，是可计算的，且可以完全判定两个拓扑空间是否同胚，这种拓扑不变量就是最理想的。目前，在一定条件下，这种理想的拓扑不变量已经被数学家发现，一般条件下的拓扑不变量仍在探索研究中。

1.4 等价关系和商集合

在数学中，同一范畴下的两个对象之间，经常可以定义某种数学关系。例如：两个实数之间，存在大小关系；两个集合之间存在基数的大小关系。对同一范畴下，两个数学对象通过“数学条件”规定的关系，统称为二元关系。这里强调“数学条件”，是为了保证两个数学对象“是否有关系”，必须能通过定义的条件明确判定。以下再举一些例子。

例 1.30 在集合范畴中，对两个集合 A 与 B ，如果 $A \subset B$ ，则称 A 与 B 有关系。

例 1.31 在三角形范畴中，对 $\triangle ABC$ 和 $\triangle EFG$ ，如果 $\triangle ABC$ 和 $\triangle EFG$ 全等，则称 $\triangle ABC$ 和 $\triangle EFG$ 有关系。

例 1.32 在方阵范畴中，对两个方阵 A 和 B ，如果 A 和 B 相似，则称 A 和 B 有关系。

例 1.33 在整数集合中，若两个整数的差为偶数，则称这两个整数有关系。

上述例子出现的关系，都是“合法”的二元关系，而下面例子中提及的关系，就不是一个合法的二元关系。

例 1.34 在函数的范畴中，对函数 f 和 g ，如果函数 f 比 g 性质更好，则称函数 f 和 g 有关系。这种关系不是合法的二元关系，这是因为“函数 f 比 g 性质更好”在数学上没有明确定义，不能算作一个数学条件。

在二元关系中，有两种二元关系在数学上特别有用。

定义 1.20 将某范畴中的 a 和 b 有关系记为 $a R b$ 。若该二元关系满足以下条件：

- (1) (自反性) 对任何 a ， $a R a$ ；
- (2) (反对称性) 若 $a R b$ 且 $b R a$ ，则 $a = b$ ；
- (3) (传递性) 对任何 a, b, c ，若 $a R b$ ， $b R c$ ，则必有 $a R c$ ，

则称该二元关系 R 为一个偏序关系。进一步，若还有

- (4) 对任何 a, b ，必有 $a R b$ 或 $b R a$ ，

则称该二元关系 R 为一个全序关系。

集合间的包含关系是一种偏序关系, 实数间的小于等于关系是一种全序关系.

定义 1.21 将某范畴中的 a 和 b 有关系记为 aRb . 若该二元关系满足以下条件

- (1) (自反性) 对任何 a , aRa ;
- (2) (对称性) 若 aRb , 则 bRa ;
- (3) (传递性) 若 aRb , bRc , 则必有 aRc ,

则称该二元关系 R 为一个等价关系.

数的相等关系、集合基数的相等关系、三角形间的全等与相似关系、矩阵间的相似与合同关系等, 都是等价关系. 等价关系通常简记为 \sim .

利用等价关系, 可以将范畴内的数学对象进行分类. 为表述简单, 不妨只考虑集合上的等价关系.

设 \sim 是定义在非空集合 S 上的等价关系, 则对任何 $a \in S$, 定义 \bar{a} 为所有与 a 等价的元素构成的集合, 即

$$\bar{a} = \{s \in S : s \sim a\},$$

称为元素 a 所在的等价类. 不难证明对任何 $a, b \in S$,

- (1) 若 $a \sim b$, 当且仅当 $\bar{a} = \bar{b}$;
- (2) 若 a 与 b 不等价, 当且仅当 $\bar{a} \cap \bar{b} = \emptyset$.

进而 S 可以表示为互不相交的等价类的并集, 这些互不相交的等价类所构成的集合, 称为 S 关于等价关系 \sim 的商集合, 记作 S/\sim .

注 1.11 商集合中的元素是等价类, 当该等价类包含不止一个元素的时候, 该等价类就有多种不同的表达方式. 例如对例 1.33 中的关系 (易证其为等价关系), 则 $\bar{1}$ 和 $\bar{3}$ 就代表了同一个等价类.

直观上看, 商集合是将集合中具有等价关系的所有元素看作一个元素.

当一个集合同时还具有其他属性的时候, 相应的商集合就会衍生出更多的内涵.

定理 1.16 设 G 为群, \sim 为其上的一个等价关系. 若对一切 $a \sim a'$, $b \sim b'$ 都有 $ab \sim a'b'$, 则 $\bar{a}\bar{b} = \overline{ab}$ 是商集合 G/\sim 上的乘法运算, G/\sim 在该运算下构成群.

条件 “对一切 $a \sim a'$, $b \sim b'$ 都有 $ab \sim a'b'$ ” 非常重要, 如若不然, $\bar{a}\bar{b}$ 和 $\overline{a'b'}$ 不是同一个等价类, 从而就不能以 $\bar{a}\bar{b}$ 作为 \overline{ab} 的定义 (即商集合中的定义不应依赖于等价类的表达方式). 在这一前提下, 商集合关于乘法运算构成群是容易验证的, 留做习题.

定理 1.17 设 (X, \mathcal{T}) 为拓扑空间, \sim 为 X 上的一个等价关系, 映射 p 定义如下

$$\begin{aligned} p: X &\rightarrow X/\sim \\ x &\mapsto \bar{x} \end{aligned}$$

称为商映射. 进一步规定 $\mathcal{T}/\sim = \{O \subset X/\sim : p^{-1}(O) \in \mathcal{T}\}$, 则 \mathcal{T}/\sim 是 X/\sim 上的一个拓扑, 称为商拓扑, 商映射 p 是拓扑空间 X 到 X/\sim 的连续映射.

拓扑空间的商空间, 直观上看, 是将具有等价关系的点, “粘接” 到一起, 形成的新拓扑空间.

例 1.35 在正方形 $[0, 1] \times [0, 1]$ 上定义等价关系 $\sim : (x, 0) \sim (x, 1), (0, y) \sim (1, y)$, 则商

拓扑空间同胚于 \mathbf{R}^3 中的环面.

例 1.36 在正方形 $[0, 1] \times [0, 1]$ 上定义等价关系 $\sim : (0, y) \sim (1, 1 - y)$, 该商拓扑空间同胚与 \mathbf{R}^3 中的 Möbius 带.

例 1.37 在正方形 $[0, 1] \times [0, 1]$ 上定义等价关系 $\sim : (x, 0) \sim (x, 1), (0, y) \sim (1, 1 - y)$, 该商拓扑空间称为 Klein¹ 瓶. Klein 瓶无法在 \mathbf{R}^3 中实现 (即不存在 \mathbf{R}^3 的子空间与 Klein 瓶同胚), 但可在更高维的欧氏空间中实现.

习题 1

1. 设 G 是一个有限群 (即 $|G|$ 为有限数), 其上运算为乘法. 证明对任何 $g \in G$, 存在正整数 k , 使得 g^k 为单位元. 进一步设 k 为满足条件的最小正整数 (称为 g 的阶数), 证明 $k \mid |G|$.
2. 考虑置换群 S_n .
 - (1) 计算 $|S_n|$.
 - (2) 证明对一切正整数 $k \leq n$, S_n 中存在一个 k 阶的轮换.
 - (3) 若 $n < k \leq |S_n|$, S_n 中是否一定存在一个 k 阶的置换.
3. 考虑一副含 54 张牌的扑克, 将前 27 张牌依次记为 A_1, A_2, \dots, A_{27} , 后 27 张牌依次记为 B_1, B_2, \dots, B_{27} , 将这 54 张牌由 $A_1, A_2, \dots, A_{27}, B_1, B_2, \dots, B_{27}$ 重新排序为 $A_1, B_1, A_2, B_2, \dots, A_{27}, B_{27}$ 称为一次完全洗牌. 证明必定可经过有限次完全洗牌, 54 张扑克牌还原到初始排列次序, 并求出最少需要多少次完全洗牌, 可使 54 张扑克牌还原到初始排列次序.
4. 证明定理 1.6.
5. 取 $X = [0, 1] \subset \mathbf{R}$, X 上的拓扑取诱导拓扑, 则下列集合是否为 X 上的开集或闭集?
 - (1) $[0, 1]$; (2) $\{0\}$; (3) $[0, \frac{1}{2})$; (4) $(0, 1)$.
6. 证明定理 1.7 和推论 1.8.
7. 证明定理 1.9.
8. 证明定理 1.14.
9. 证明定理 1.16.
10. 证明由例 1.33 中等价关系得到的商群同构于 \mathbf{Z}_2 .

¹全名为 Felix Klein (1849-1925), 德国数学家.

第2章 同调群和基本群

为准确地刻画一个拓扑空间的拓扑性质，除了连通、道路连通、紧致这些基本拓扑性质外，还需要挖掘更多拓扑不变量。同调群和基本群就是其中非常有代表性的两种不变量。

2.1 道路与同伦

基本群和同调群，基本思想都来自于拓扑空间上的闭道路。为此，首先介绍道路相关的概念与定理。

定义 2.1 设 X 是一个拓扑空间，连续映射 $f: [0, 1] \rightarrow X$ 是称为 X 上的一条道路， $f(0)$ 和 $f(1)$ 称为该道路的起点和终点。若 $f(0) = f(1)$ ，则该道路称为一条闭道路， $f(0) = f(1)$ 称为该闭道路的基点。

直观上看，道路作为映射，刻画了一个点从起点到终点的变化过程，其像集是一条连接起点和终点的连续曲线。需要注意的是，道路与连续曲线并不等同，同一条连续曲线可以对应不同的道路。例如 C 是一条连接点 a 与 b 的曲线， c 为该曲线中的一点，动点由 a 沿曲线 C 移动到 b ，与动点由 b 沿曲线 C 移动到 a ，以及动点由 a 沿曲线 C 移动到 b 后再沿曲线 C 返回到 a ，就对应了三条不同的道路。即便同样是由 a 沿曲线 C 移动到 b ，一个动点是在 $\frac{1}{4}$ 时刻到达 c ，另一个动点是在 $\frac{1}{3}$ 时刻到达 c ，得到的也是不同的道路。下面是几个具体的例子。

例 2.1 常值映射可以看作一条“退化”的闭道路，其像集是一个点。

例 2.2 若 f, g 都是拓扑空间 X 上的道路，且 $f(1) = g(0)$ ，则

$$(f * g)(t) = \begin{cases} f(2t), & 0 \leq t \leq \frac{1}{2}, \\ g(2t - 1), & \frac{1}{2} < t \leq 1, \end{cases}$$

也是一条道路。直观上看， $f * g$ 是先沿 f 走到 $f(1)$ ，再沿 g 走到 $g(1)$ 的道路。若 f, g 是具有相同基点的闭道路，则 $f * g$ 是先沿 f 绕一圈，再沿 g 绕一圈形成的闭道路。需要注意的是， $f * g$ 和 $g * f$ 是不同的道路。

例 2.3 若 f, g, h 都是拓扑空间 X 上的道路，且 $f(1) = g(0)$ ， $g(1) = h(0)$ ，则 $(f * g) * h$ 和 $f * (g * h)$ 都是道路，这两条闭道路的像集相同，但通常是不同的道路。这是因为对道路

$(f * g) * h$, 当自变量 $t = \frac{1}{2}$ 时, 对应的映射值为 $g(1)$, 对道路 $f * (g * h)$, 当自变量 $t = \frac{1}{2}$ 时, 对应的映射值为 $f(1)$.

例 2.4 若 f 是拓扑空间 X 上的道路, 则 $g(t) = f(1 - t)$ 也是一条道路. 直观上看, g 是沿 f 的反向形成的道路.

上面例子中的 “ $*$ ” 可以看作道路间的一种运算, 但这种运算的性质并不很好, 例如 $(f * g) * h$ 和 $f * (g * h)$ 不相同, 说明这种运算不满足结合律. 为使这种运算的性质达到群运算的要求, 需要在道路之间定义一种等价关系.

定义 2.2 已知 f, g 均为由拓扑空间 X 到 Y 的连续映射, 若存在一个连续映射 $H : [0, 1] \times X \rightarrow Y$ 使得对一切 $x \in X$ 有

$$H(0, x) = f(x), H(1, x) = g(x),$$

则称映射 f, g 同伦.

两个映射 f, g 同伦, 直观上看, 是指 f 可以在 Y 上连续地变化到 g . 易见, 映射的同伦关系, 是等价关系. 特别, 道路是拓扑空间之间的映射, 其同伦关系是本章后续内容的基础. 以下将道路的同伦关系简记为 \sim .

引理 2.1 若 f_1, f_2, g_1, g_2 都是拓扑空间 X 上的道路, 且 $f_1 \sim f_2, g_1 \sim g_2, f_1(1) = g_1(0), f_2(1) = g_2(0)$, 则 $f_1 * g_1 \sim f_2 * g_2$.

引理 2.2 若 f, g, h 都是拓扑空间 X 上的道路, 且 $f(1) = g(0), g(1) = h(0)$, 则 $(f * g) * h \sim f * (g * h)$.

引理 2.3 若 f 是拓扑空间 X 上的道路, e_1, e_2 分别为以 $f(0)$ 和 $f(1)$ 为基点的常值道路, 则 $e_1 * f \sim f * e_2$.

引理 2.4 若 f 是拓扑空间 X 上的道路, $g(t) = f(1 - t)$, 则 $f * g$ 和 $g * f$ 分别同伦于以 $f(0)$ 和 $f(1)$ 为基点的常值道路.

对道路的同伦, 有时还需要对起点和终点添加限制条件.

定义 2.3 已知 $f, g : [0, 1] \rightarrow X$ 为拓扑空间 X 上的道路, 且 $f(0) = g(0) = a, f(1) = g(1) = b$. 若存在一个连续映射 $H : [0, 1] \times [0, 1] \rightarrow X$ 使得对一切 $t \in [0, 1]$ 有

$$H(0, t) = f(t), H(1, t) = g(t),$$

以及 $H(s, 0) = a, H(s, 1) = b$, 则称道路 f, g 相对于起点 a 和终点 b 同伦.

该定义的直观意义是, 道路 f 可在空间 X 上连续的变化到 g , 且保持起点、终点不变.

定理 2.5 在拓扑空间 X 上所有以 a 为起点, b 为终点的道路构成的集合上, 相对于起点和终点的同伦关系为等价关系.

考虑拓扑空间 X 上, 以 $x_0 \in X$ 为基点的闭道路全体构成的集合, 以道路相对于基点的同伦作为等价关系, 进而得到商集合 $\pi(X, x_0)$. 由前面的引理, 立即得到下面的结论.

定理 2.6 $(\pi(X, x_0), *)$ 构成群.

证明 由引理 2.1, $*$ 是 $\pi(X, x_0)$ 上的运算. 引理 2.2 保证了该运算满足结合律, 引理 2.3

说明常值道路是单位元，引理 2.4 说明了逆元的存在。证毕。

当 X 道路连通时，还有更好的结论。

定理 2.7 若拓扑空间 X 道路连通，则对任何 $x_0, x_1 \in X$ ，群 $\pi(X, x_0)$ 与 $\pi(X, x_1)$ 同构。

证明 取 f 为由 x_0 到 x_1 的道路， $f_{-1}(t) = f(1-t)$ 为反向的道路。则映射

$$\begin{aligned} f_{\#} : \pi(X, x_1) &\rightarrow \pi(X, x_0) \\ [u] &\mapsto [f * u * f_{-1}] \end{aligned}$$

是群同态。事实上，对任何 $[u], [v] \in \pi(X, x_1)$ ，

$$f * u * v * f_{-1} \sim f * u * e * v * f_{-1} \sim f * u * f_{-1} * f * v * f_{-1},$$

从而

$$f_{\#}([u * v]) = [f * u * v * f_{-1}] = [f * u * f_{-1}] * [f * v * f_{-1}] = f_{\#}([u]) * f_{\#}([v]).$$

同理

$$\begin{aligned} f_{-1\#} : \pi(X, x_0) &\rightarrow \pi(X, x_1) \\ [u] &\mapsto [f_{-1} * u * f] \end{aligned}$$

也是群同态。易见 $f_{-1\#} \circ f_{\#} = id_{\pi(X, x_1)}$ ， $f_{\#} \circ f_{-1\#} = id_{\pi(X, x_0)}$ ，故 $f_{\#}$ 是群同构。得证。

2.2 基本群

本节涉及到的拓扑空间，都默认是道路连通的。

对道路连通的拓扑空间 X ，根据定理 2.7， $\pi(X, x_0)$ 与基点 x_0 的选择无关（同构的群，视为等同），从而可简记为 $\pi(X)$ ，称为拓扑空间 X 的**基本群**。以下指出，基本群是拓扑不变量。

首先，若两个拓扑空间之间存在连续映射，则该映射诱导了基本群之间的同态。

定理 2.8 设 $f : X \rightarrow Y$ 是拓扑空间之间的连续映射，则映射

$$\begin{aligned} f_* : \pi(X, x_0) &\rightarrow \pi(Y, f(x_0)) \\ [u] &\mapsto [f \circ u] \end{aligned}$$

是群同态。

证明 首先证明映射 f_* 定义的合理性。这是因为，当以 x_0 为基点的道路 $u \sim v$ 时，即存在连续映射 $H : [0, 1] \times [0, 1] \rightarrow X$ ，使得

$$H(0, t) = u(t), H(1, t) = v(t),$$

于是复合映射 $f \circ H : [0, 1] \times [0, 1] \rightarrow Y$ 连续且满足

$$f \circ H(0, t) = f \circ u(t), f \circ H(1, t) = f \circ v(t),$$

即以 $f(x_0)$ 为基点的道路 $f \circ u \sim f \circ v$ ，从而 $f_*([u])$ 不依赖代表元 u 的选择，即 f_* 定义合理。

再证明 f_* 是同态，即证明 $f_*([u * v]) = [f \circ u] * [f \circ v]$ 。事实上， $f_*([u * v]) = [f \circ (u * v)]$ ，而 $f \circ (u * v) = (f \circ u) * (f \circ v)$ ，故 f_* 是同态。证毕。

由此立即得到，基本群是同胚变换下的不变量。

定理 2.9 若拓扑空间 X 与 Y 同胚, 则 $\pi(X)$ 与 $\pi(Y)$ 同构.

证明 设 $f: X \rightarrow Y$ 为同胚映射, g 为相应的逆映射, 于是 $f \circ g = 1_Y$, $g \circ f = 1_X$, 从而 $(f \circ g)_* = (1_Y)_*$, $(g \circ f)_* = (1_X)_*$. 而 $(f \circ g)_* = f_* \circ g_*$ 和 $(1_Y)_* = id_{\pi(Y)}$ 是明显成立的, 于是 $f_* \circ g_* = id_{\pi(Y)}$. 同理 $g_* \circ f_* = id_{\pi(X)}$. 故 F_* 是群同构. 证毕.

需要注意的是, 同胚只是基本群同构的充分条件而不是必要条件. 事实上, 当两个拓扑空间同伦时, 相应的基本群就是同构的 (参见 [4]). 空间同伦的定义如下.

定义 2.4 拓扑空间 X 和 Y 称为同伦的, 如果存在连续映射 $f: X \rightarrow Y$ 和 $g: Y \rightarrow X$ 使得 $g \circ f \sim 1_X$, $f \circ g \sim 1_Y$.

显然, 同胚的两个空间一定同伦. 反之, 同伦的两个空间可能不同胚.

例 2.5 $[0, 1]$ 与 $\{0\}$ 同伦, 而两者显然不同胚.

证明 两个空间作为集合, 基数不同, 故之间不可能存在双射, 于是不同胚. 以下证明两者同伦.

令 $f: [0, 1] \rightarrow 0$ 为常值映射, $g: \{0\} \rightarrow [0, 1]$ 定义为 $g(0) = 0$, 显然两个映射都是连续的, 且 $f \circ g = 1_{\{0\}}$. 为证 $[0, 1]$ 与 $\{0\}$ 同伦, 只需证明 $[0, 1]$ 上的恒同映射与 $g \circ f$ (即常值映射) 同伦. 令

$$F: [0, 1] \times [0, 1] \rightarrow [0, 1] \\ (s, t) \mapsto st$$

则显然 F 连续, 且 $F(0, t) = 0$, $F(1, t) = t$. 证毕.

这一例子可以推广到一般的情形.

定义 2.5 若 X 为拓扑空间, $Y \subset X$ 为子空间, $i: Y \rightarrow X$ 定义为 $i(y) = y$ (称为嵌入映射), 若存在连续映射 $f: X \rightarrow Y$, 使得 $i \circ f \sim 1_X$, $f \circ i = 1_Y$ (这样的 f 称为收缩映射), 则称 Y 为 X 的形变收缩核. 若 X 以只含有一个点的拓扑空间 (简称独点空间) 为形变收缩核, 则 X 称为可缩的.

直观上看, Y 为 X 的形变收缩核, 则 X 可在其上连续地收缩到 Y ; X 为可缩的, 则 X 可在其上连续地收缩到一个点.

显然, 独点空间上只有常值道路, 于是其基本群只有一个单位元, 是平凡群. 根据同伦的空间基本群同构, 于是可缩空间的基本群都是平凡群, 而当基本群非平凡时, 空间必定不可缩.

对某些典型的拓扑空间, 基本群是可以计算的. 其中最有代表性的一类拓扑空间就是复形. 为此, 先给出单形的定义.

定义 2.6 设 a_0, a_1, \dots, a_m 是 \mathbf{R}^n 上几何无关¹的点, 集合

$$\sigma = \left\{ \sum_{k=0}^m \lambda_k a_k : \lambda_k \geq 0, \sum_{k=0}^m \lambda_k = 1 \right\}$$

称为以 a_0, a_1, \dots, a_m 为顶点的 m 维单形. 以 $\{a_0, a_1, \dots, a_m\}$ 的一个 $r+1$ 元子集 ($r \leq m$)

¹ $m+1$ 个点几何无关是指对应的向量组 $a_1 - a_0, \dots, a_m - a_0$ 线性无关.

为顶点的单形称为 σ 的一个 r 维面.

直观上看, 单形就是多面体的一般维数推广. 特别, 0 维单形就是点, 1 维单形是线段, 2 维单形是包含内部区域的三角形, 3 维单形是包含内部区域的四面体.

定义 2.7 \mathbf{R}^m 中有限个单形构成的集合 K , 若满足以下两个条件:

(1) 若单形 $\sigma \in K$, 则 σ 的所有面都属于 K ;

(2) 若单形 $\sigma_1, \sigma_2 \in K$, 则 $\sigma_1 \cap \sigma_2$ 或者为空集, 或者为 σ_1, σ_2 的公共面,

则 K 称为一个**复形**, 其维数规定为所含单形的最大维数. 复形 K 包含的所有单形的并集, 在 \mathbf{R}^n 的诱导拓扑下构成拓扑空间, 称为复形 K 的**多面体**, 记作 $|K|$. 若 $L \subset K$ 也构成复形, 则 L 称为 K 的**子复形**, $|L|$ 称为 $|K|$ 的**子多面体**.

直观上看, 复形是由单形“拼”出来的图形, 但拼接方式有限制, 只有两个完全相同的面可以接在一起, 且必须以完全重合的方式拼接. 复形对应的多面体, 相对通常意义下的多面体, 更加广泛. 通常意义下的多面体, 都是道路连通的, 一条棱只能是两个面的公共边, 但复形可以不是道路连通的, 一个一维单形可以是多个二维单形的公共边.

在复形对应多面体中, 一维可缩的多面体称为**树**. 直观上看, 树必定道路连通, 且不存在“闭环”.

定理 2.10 若复形 K 对应的多面体 $|K|$ 道路连通, 则存在包含 K 的所有顶点的一维子复形 L , 使得 $|L|$ 是树, 称为 $|K|$ 的**极大树**.

该定理的证明可参考 [4]. 极大树在计算多面体的基本群时有重要作用. 以下定理给出了多面体的基本群的计算方法.

定理 2.11 设 K 是复形, $|K|$ 道路连通, L 是包含 K 的所有顶点的子复形且 $|L|$ 可缩. 记 G 为由所有 $K \setminus L$ 的一维单形生成的自由群, H 为由所有 L 的一维单形和 $K \setminus L$ 中的二维单形的边界闭道路生成的自由群, 则 K 的基本群同构于 G/H .

这个定理表达的直观意义有三方面内容. 首先, 多面体的所有闭道路, 都同伦于某一条由一维单形连接而成的闭道路, 所以刻画多面体的基本群, 只需要用一维单形描述就够了, 即一维单形是多面体基本群的生成元. 其次, 所有二维单形的边界闭道路都同伦于常值道路, 因此应当视作单位元 (即作为子群的生成元模掉). 再次, 可缩子复形 L 由于同伦于独点空间, 因此可以把 L 看作一个点, 于是 L 中的所有一维单形也都是点, 从而也要视为单位元. L 包含所有顶点十分必要, 这保证了 $K \setminus L$ 中的一维单形一定是自 L 中的点开始, 以 L 中的点结束, 由于 L 可看作一个点, 因此自 L 中的点开始, 以 L 中的点结束的道路可看作一条闭道路.

定义 2.8 设 X 是拓扑空间, 如果 $\pi_1(X) = 0$, 即 X 上任何一条闭道路都可以连续地收缩为一个点, 那么就称 X 是**单连通的**.

虽然多面体只是非常特殊的一类拓扑空间, 但由于同胚或同伦的拓扑空间具有相同的基本群, 故对一般的拓扑空间, 可以通过将其转化为与之同胚的多面体, 而得到其基本群. 这种做法称为拓扑空间的三角剖分.

例 2.6 计算圆周 S^1 的基本群.

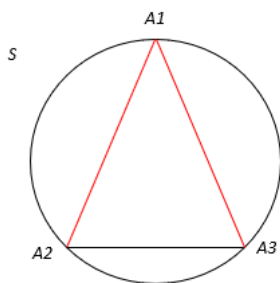


图 2.1

解 对圆周 S^1 , 取三个点 A_1, A_2, A_3 作三角剖分, 得到如图 2.1 的复形

$$K = \{A_1A_2A_3, A_1A_2, A_2A_3, A_3A_1, A_1, A_2, A_3\}.$$

取树 (图中红色部分)

$$L = \{A_1A_2, A_1A_3, A_1, A_2, A_3\},$$

于是 A_2A_3 为 $K \setminus L$ 中的 1 维单形, 故基本群 $\pi_1(S^1) = \langle A_2A_3 \rangle \cong \mathbf{Z}$

例 2.7 求两个相切的圆周的基本群.

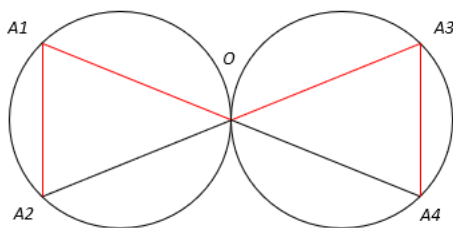


图 2.2

解 作三角剖分如图 2.2, 得到复形, 取树如图中红色部分, OA_2, OA_4 为剩余的全体 1 维单形, 所以基本群 $G = \langle OA_2, OA_4 \rangle \cong \mathbf{Z} * \mathbf{Z}$.

例 2.8 求环面 T 的基本群.

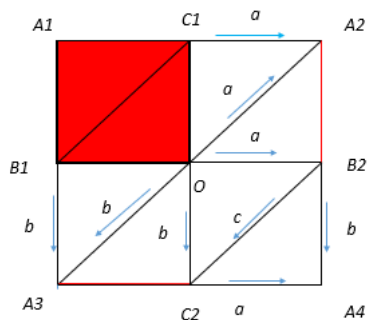


图 2.3

解 作三角剖分得到如图 2.3 的复形 K (注意, 图中的 $A_1 = A_2 = A_3 = A_4, B_1 = B_2, C_1 = C_2$), 取树 L (红色部分). 注意, 由于对粘的原因, A_3C_2 和 A_2B_2 也是树的一部分. 记 $C_1A_2 = a, B_1A_3 = b, B_2C_2 = c$. 注意到所有的三角形的定向边界都应视为单位元, 所有红色的边也应视为单位元, 于是

$$a = C_1A_2 = OA_2 = OB_2 = C_2A_4, b = B_1A_3 = OA_3 = OC_2 = B_2A_4,$$

以及 $c = B_2C_2 = a^{-1}b = ba^{-1}$, 即 $ab = ba$. 从而 a 和 b 是基本群 $\pi(T)$ 的生成元, 且这两个元是交换的, 从而 $\pi(T) \cong \mathbf{Z} \oplus \mathbf{Z}$.

例 2.9 计算 Klein 瓶基本群.

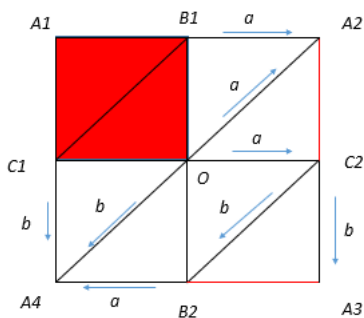


图 2.4

证明 作三角剖分如图 2.4, 并取子复形 (红色部分). 记 $B_1A_2 = a, C_1A_1 = b$, 类似环面的计算, 得到 $OB_2 = ab = ba^{-1}$, 从而基本群 $G = \langle a, b \rangle / \langle b^{-1}aba \rangle$.

例 2.10 计算实射影空间 \mathbf{RP}^2 的基本群.

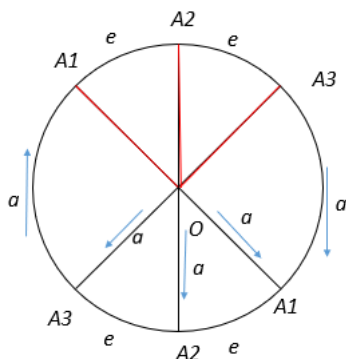


图 2.5

证明 作三角剖分如图 2.5，并取树子复形（红色部分）。首先， A_1A_2 ， A_2A_3 都与另外两条红边构成三角形的边界，故应视为单位元。记 $A_3A_1 = a$ ，可推得其他一维单形关系如图，所以基本群只有一个生成元 a ，而左侧三角形 OA_3A_2 的边界是 a^2 ，从而 $\pi(\mathbf{RP}^2) = \langle a \rangle / \langle a^2 \rangle \cong \mathbf{Z}_2$ 。

对一些复杂的拓扑空间，可以通过将其拆解为多个简单拓扑空间的并集，并分别计算各个简单空间的基本群，进而得到原空间的基本群。其依据是下面的定理。

定理 2.12 (van Kampen¹) 设 X_1, X_2 为 X 中的开集， $X = X_1 \cup X_2$ 非空且道路连通，则对于任意 $x \in X$ ，有

$$\pi_1(X, x_0) = \pi_1(X_1, x_0) * \pi_1(X_2, x_0) / \langle \{(i_1)_*(\alpha)(i_2)_*(\alpha^{-1}) : \alpha \in \pi_1(X_0, x_0)\} \rangle,$$

其中 $i_k : X_k \rightarrow X$, $k = 1, 2$ 为包含映射。

Van Kampen 定理的直观理解是，如果一个拓扑空间可以写成两个空间的并集，则每一个空间上的闭道路当然也是全空间的闭道路，因此应作为全空间基本群的生成元，但两个空间的公共闭道路（交集空间上的闭道路）应视为等同，故需要通过等价关系模掉。

通过计算基本群的定理可以看出，多面体的基本群，与其所含的高于二维的单形情况无关。这说明，基本群无法区分高于二维的拓扑性质。要研究二维及以上的拓扑性质，还需要引入更多的工具，如下一节将要提到的同调群。

2.3 同调群

由于基本群只能刻画二维以下的拓扑性质，为研究高维拓扑性质，必须引入新的工具。首先考虑复形和多面体。

定义 2.9 设 K 是一个复形，则 $C^n(K)$ 定义为由 K 的所有 n 维单形为生成元的自由 Abel 群，称为 K 的 n 维链群。

¹全名为 Egbert Rudolf van Kampen (1908 - 1942)，荷兰数学家。

注 2.1 n 维链群的一般元素具有如下形式:

$$k_1\sigma_1 + k_2\sigma_2 + \cdots + k_m\sigma_m,$$

这里 $\sigma_1, \sigma_2, \dots, \sigma_m$ 为 K 的 n 维单形, k_1, k_2, \dots, k_m 为系数. 系数的取值范围可以根据不同的需要选取, 取为整数是最自然的, 但为了计算方便, 也经常将系数范围规定数域, 此时 n 维链群就成为一个线性空间, 相应的生成元 (即 K 的所有 n 维单形) 就是该空间的一组基.

在 n 维链群中, 同一个单形 σ , 会以 $\pm\sigma$ 两种形式出现. 设 σ 为由顶点 a^0, a^1, \dots, a^n 构成的 n 维单形, 若以单形的所有顶点的排列表示单形, 则约定: 若两种排列的奇偶性相同, 则表示的单形符号相同; 若两种排列的奇偶性相反, 则表示的单形符号相反.

例 2.11 设 σ 的顶点为 a_0, a_1, a_2 , 则 $a_0a_1a_2 = -a_1a_0a_2 = a_1a_2a_0$.

在计算基本群的步骤中, 利用了由复形的棱构成的闭道路作为闭道路同伦类的代表元, 这样的闭道路可以看作 n 维链群中的元素, 而它的闭性, 需要通过边缘映射刻画.

定义 2.10 设 σ 的顶点为 a_0, a_1, \dots, a_n , 规定

$$\partial(a_0a_1 \cdots a_n) = \sum_{k=1}^{n+1} (-1)^{k-1} (a_0a_1 \cdots a_n)_k,$$

这里 $(a_0a_1 \cdots a_n)_k$ 表示将该排列中第 k 位置上的元素除去后得到的 n 元排列. 进一步, 对 $k_1\sigma_1 + k_2\sigma_2 + \cdots + k_m\sigma_m \in C_n(K)$, 规定

$$\partial(k_1\sigma_1 + k_2\sigma_2 + \cdots + k_m\sigma_m) = k_1\partial(\sigma_1) + k_2\partial(\sigma_2) + \cdots + k_m\partial(\sigma_m).$$

称映射 $\partial: C_n(K) \rightarrow C_{n-1}(K)$ 为边缘映射. 约定, 对一切零维单形 a , $\partial(a) = 0$.

例 2.12 分别计算 $\partial(a_0a_1)$ 和 $\partial(a_0a_1a_2)$.

证明 直接根据定义, 得

$$\partial(a_0a_1) = a_1 - a_0,$$

$$\partial(a_0a_1a_2) = a_1a_2 - a_0a_2 + a_0a_1 = a_1a_2 + a_2a_0 + a_0a_1.$$

在上面的例子中, 可以看出单形经边缘映射后, 得到的恰好是该单形的边界. 如将单形 (a_1a_2) 视为由 a_1 到 a_2 的道路, 则 $\partial(a_0a_1a_2)$ 刚好形成一条闭道路.

对边缘映射, 有下述重要定理.

定理 2.13 对一切非负整数 n , $\partial \circ \partial: C_{n+2}(K) \rightarrow C_n(K)$ 为零映射. 若记 $\partial \circ \partial = \partial^2$, 则 $\partial^2 = 0$.

证明 只须对 $(n+2)$ 维单形 σ 证明 $\partial^2(\sigma) = 0$ 即可. 不失一般性, 设 $\sigma = (a_0a_1 \cdots a_{n+2})$. 根据定义, $\partial^2(\sigma) = 0$ 为 $(a_0a_1 \cdots a_{n+2})$ 去掉两个顶点后的排列的代数和. 任取 $0 \leq i < j \leq n+2$, 考查 $(a_0a_1 \cdots a_{n+2})$ 除去 a_i 和 a_j 后的排列在 $\partial^2(\sigma)$ 中的符号, 该排列在 $\partial^2(\sigma)$ 中出现两次, 分别为先除去 a_i 再除去 a_j 得到的排列, 和先除去 a_j 再除去 a_i 得到的排列. $(a_0a_1 \cdots a_{n+2})$ 先除去 a_i , a_i 是第 $i+1$ 位的元素, 再除去 a_j , a_j 在新的排列中是第 j 位的元素, 于是该排列前的符号为 $(-1)^{i+j-1}$; $(a_0a_1 \cdots a_{n+2})$ 先除去 a_j , a_j 是第 $j+1$ 位的元素, 再除去 a_i , a_i 在新的排列中是第 $i+1$ 位的元素, 于是该排列前的符号为 $(-1)^{i+j}$. 两项符号刚好相反, 因此代数和为零. 证毕.

该定理的几何直观是, 任何一个复形的边界, 不再有边界. 例如, 正方形的边界是四条线段构成的封闭折线, 该封闭折线没有边界.

定义 2.11 记 $Z_n(K) = \{\tau \in C_n(K) | \partial\tau = 0\}$, 称为 K 的 n 维闭链群, 其中的元素称为 K 的一个 n 维闭链. 记 $B_n(K) = \partial(C_n(K))$, 称为 K 的 n 维边缘群.

直观上, 闭链就是没有边界的链. 特别地, 闭链可以看作闭道路的一般维数的推广. 根据定理 2.13, $B_n(K)$ 是 $Z_n(K)$ 的子群, 从而可以考虑商群.

定义 2.12 记 $H_n(K) = Z_n(K)/B_n(K)$, 称为 K 的 n 维同调群, 其中的元素称为 K 的一个 n 维同调类.

直观上, 如果一个闭链是某个高维单形链的边缘, 那么该闭链就可以沿着该单形链连续变化成一个点, 这样的闭链对描述该空间的拓扑结构, 没有多少价值, 正如在基本群的理论中, 同伦于一点的闭道路是平凡的. 因此对一个空间的闭链群, 只有模掉同维数的边缘群后, 才能得到可以描述该空间拓扑性质的闭链类.

以下考虑同调群的计算.

定理 2.14 若复形 K 中所有单形的最高维数为 m , 则对一切 $n > m$, $H_n(K) = 0$.

证明 此时 $C_n(K) = 0$, 故 $H_n(K) = 0$. 证毕.

定理 2.15 $H_0(K)$ 是有限生成的自由群, 其生成元个数等于 K 的道路连通分支个数.

证明 首先 $Z_0(K) = C_0(K)$. 其次, 若 a_0a_1 是 K 的某个一维单形, 则 $a_1 - a_0 \in B_0(K)$, 即 $a_0 \sim a_1$. 若顶点 a 和 b 处在 K 的同一个道路连通分支中, 则 a 和 b 可通过有限条边首尾连接, 于是所有经过的顶点均等价. 反之, 如果顶点 a 和 b 等价, 则这两点是某个一维单形链的边缘, 于是必定被有限条边首尾连接. 证毕.

定理 2.16 $H_1(K)$ 为 $\pi_1(X)$ 的交换化.

该定理的证明从略. 根据定义, 所有阶的同调群都是交换群, 而 1 维同调群刻画的就是闭道路的同调类, 基本群刻画的是闭道路的同伦类, 所以两个群的结构有联系是很自然的.

例 2.13 独点集 X 的同调群为

$$H_i(X) = \begin{cases} \mathbf{Z}, & i = 0, \\ 0, & i > 0. \end{cases}$$

类似基本群, 对一般的拓扑空间, 同样可以通过三角剖分, 转化为与之同胚的复形, 来定义它的同调群. 该定义合理性的证明 (即要证明对不同的剖分, 得到的同调群相同) 略去.

例 2.14 计算圆周 S^1 的同调群.

解 首先, S^1 是单连通的, 故 $H_0(S^1) = \mathbf{Z}$.

其次, 由于 S^1 的基本群 $\pi_1(S^1) = \mathbf{Z}$, 故 $H_1(S^1) = \mathbf{Z}$.

最后, S^1 的三角剖分中不含有 2 维以上的单形, 故对一切 $n \geq 2$, $H_2(S^1) = 0$.

可以证明, 同伦等价的两个拓扑空间, 同调群同构, 即基本群、同调群都是同伦不变量.

定理 2.17 若 X 为可缩空间, 则 X 的同调群为

$$H_i(X) = \begin{cases} \mathbf{Z}, & i = 0, \\ 0, & i > 0. \end{cases}$$

证明 只须注意到可缩空间和独点空间同伦, 故其同调群与独点空间的同调群相同. 证毕.

将一个空间拆分成多个部分的思想, 对计算同调群同样有效. 为此, 先介绍正和序列.

定义 2.13 设 $\cdots \xrightarrow{f_{n+1}} C_{n+1} \xrightarrow{f_n} C_n \xrightarrow{f_{n-1}} \cdots$ 为一个同态映射链, 如果对一切 n , $\text{im } f_{n+1} = \ker f_n$, 那么称这个序列为**正合的**.

对正合列, 有两种特殊情况.

定理 2.18 (1) 若 $0 \xrightarrow{i} A \xrightarrow{j} B$ 为正合列, 则映射 j 为单射.

(2) 若 $A \xrightarrow{i} B \xrightarrow{j} 0$ 为正合列, 则映射 i 为满射.

证明 (1) 由于 i 是同态, 所以 $\text{im } i = \{0\}$, 再由正合性, 得 $\ker j = \{0\}$, 即 j 为单射.

(2) 由于 j 是同态, 所以 $\ker j = B$, 再由正合性, 得 $\text{im } i = B$, 即 i 为满射. 证毕.

定理 2.19 设拓扑空间 $X = X_1 \cup X_2$, 则存在以下的正合序列 (称为 **Mayer¹-Vietoris²** 序列):

$$\cdots \longrightarrow H_n(X_1 \cap X_2) \longrightarrow H_n(X_1) \oplus H_n(X_2) \longrightarrow H_n(X) \longrightarrow H_{n-1}(X_1 \cap X_2) \longrightarrow \cdots$$

例 2.15 计算球面 S^2 的同调群.

解 因为 S^2 的剖分中不包含 3 维及以上的单形, 所以对一切 $n > 2$, $H_n(S^2) = 0$.

将 S^2 分为南北半球 U, V , 这两部分都是可缩的, 又赤道 $S^1 = U \cap V$, 将例 2.14 和例 2.13 的结论代入该分解对应的 Mayer-Vietoris 序列, 得到

$$0 \rightarrow H_2(S^2) \rightarrow \mathbf{Z} \rightarrow 0 \rightarrow H_1(S^2) \rightarrow \mathbf{Z} \rightarrow \mathbf{Z} \oplus \mathbf{Z} \rightarrow H_0(S^2) \rightarrow 0.$$

因为球面 S^2 道路连通, 所以 $H_0(S^2) = \mathbf{Z}$. 根据定理 2.18, $H_2(S^2) = \mathbf{Z}$.

最后利用正合列计算 $H_1(S^2)$. 记每一个映射如下图所示,

$$0 \xrightarrow{i} H_1(S^2) \xrightarrow{j} \mathbf{Z} \xrightarrow{k} \mathbf{Z} \oplus \mathbf{Z} \xrightarrow{t} \mathbf{Z} \xrightarrow{r} 0$$

由定理 2.18 得 t 为满射, 故 $\ker t = \mathbf{Z} = \text{im } k$. 由此得到 k 是单射, 于是 $\ker k = 0 = \text{im } j$, 即 j 是零映射. 再根据定理 2.18, 得 j 是单射, 故 $H_1(S^2) = 0$.

对线性空间的正合列, 有更简明的结论.

定理 2.20 设 $\cdots \xrightarrow{f_{n+1}} C_{n+1} \xrightarrow{f_n} C_n \xrightarrow{f_{n-1}} \cdots$ 为线性空间的正合列, 则 $\dim C_{n+1} = \dim \text{im } f_n + \dim \text{im } f_{n-1}$.

证明 因为线性空间的维数满足 $\dim C_{n+1} = \dim \text{im } f_n + \dim \ker f_n$, 再根据正合性立得结论. 证毕.

由此, 当同调群的系数取为数域时, 计算会更加简单.

例 2.16 若一维复形 K 的顶点数和边数分别为 v 和 l , 计算 $|K|$ 的实系数同调群.

¹全名为 Walther Mayer (1887-1948), 奥地利数学家.

²全名为 Leopold Vietoris (1891 - 2002), 奥地利数学家.

解 注意到 $|K|$ 道路连通, 且所有 2 维及以上的同调群均为 0, 故只须计算 $H_1(|K|)$. 取开集 U 为 $|K|$ 的所有顶点的小邻域之并集, 开集 V 为不包含端点的所有边的并集. 此时 U 和 V 的连通分支的个数恰为 v 和 l , $U \cap V$ 的连通分支的个数为 $2l$, 由此得到上述集合 0 维同调群的维数, 而上述集合的每个连通分支都可缩, 故其一维同调群均为 0. 将上述信息代入 Mayer-Vietoris 序列, 得到

$$0 \rightarrow H_1(|K|) \xrightarrow{i} \mathbf{R}^{2l} \xrightarrow{j} \mathbf{R}^{v+l} \xrightarrow{k} \mathbf{R} \rightarrow 0.$$

根据定理 2.20, 得

$\dim \operatorname{im} k = 1$, $\dim \operatorname{im} k + \dim \operatorname{im} j = v + l$, $\dim \operatorname{im} j + \dim \operatorname{im} i = 2l$, $\dim \operatorname{im} i = \dim H_1(|K|)$, 从而 $H_1(|K|) = \mathbf{R}^{l-v+1}$.

本题结论的直观意义是, 一个 1 维复形 K 对应的拓扑空间 $|K|$, 所有不同伦于常值道路的闭道路, 由 $l - v + 1$ 条简单闭道路生成. 这一结论有许多应用. 例如, 在电路的计算中, 需要 $l - v + 1$ 个独立的方程, 其中 l 和 v 正是将电路看作一维复形的边数和顶点数.

根据例 2.16, 还可以进一步得到下面的定理.

定理 2.21 记 $|K|$ 为 \mathbf{R}^3 中的凸多面体 (K 为对应的二维复形), s, l, v 分别为 K 的面数、棱数和顶点数, 则 $s - l + v = 2$.

证明 一方面, 由于凸多面体 $|K|$ 和球面 S^2 同胚 (例 1.27), 故 K 和 S^2 的各阶同调群相同, 即 $H_2(|K|) = H_0(|K|) = \mathbf{R}$, $H_1(K) = 0$.

另一方面, 选取开集 U 为 K 的最大 1 维子复形 (称为 K 的 1 维骨架) 的小邻域, V 取为所有面不包含边界的并集. 此时, U 与 K 的 1 维骨架同伦, 从而根据例 2.16 可得, $H_2(U) = 0$, $H_1(U) = \mathbf{R}^{l-v+1}$, $H_0(U) = \mathbf{R}$; V 有 s 个连通分支, 且每个连通分支可缩, 故 $H_2(V) = H_1(V) = 0$, $H_0(V) = \mathbf{R}^s$; $V \cap U$ 有 s 个连通分支, 且每个连通分支同胚于圆周, 故 $H_2(V) = 0$, $H_1(V) = H_0(V) = \mathbf{R}^s$. 代入 Mayer-Vietoris 序列, 得到

$$0 \rightarrow \mathbf{R} \xrightarrow{i} \mathbf{R}^s \xrightarrow{j} \mathbf{R}^{l-v+1} \xrightarrow{k} 0 \rightarrow \mathbf{R}^s \rightarrow \mathbf{R}^{1+s} \rightarrow \mathbf{R} \rightarrow 0.$$

根据定理 2.20, 得

$$\dim \operatorname{im} i = 1, \dim \operatorname{im} j = \dim \ker k = l - v + 1, \dim \operatorname{im} j + \dim \operatorname{im} i = s,$$

从而 $s - l + v = 2$. 证毕.

定理 2.21 最早为 Euler 发现, 严格证明最早由 Cauchy 给出, 上述证明更加本质. 上述的证明方法, 对一般的 2 维复形同样有效, 此时

$$s - l + v = \dim H_0(|K|) - \dim H_1(|K|) + \dim H_2(|K|).$$

对一般的拓扑空间 X , 定义

$$\chi(X) = \sum_k (-1)^k \dim H_k(X),$$

称为 X 的 Euler 示性数.

习题 2

1. 通过计算基本群或同调群证明上衣和裤子不同胚.
2. 分别计算“田”字的基本群和同调群.
3. 计算环面、射影空间、Klein瓶的同调群.

第 3 章 曲线和曲面

在拓扑学的范畴中，研究的是同胚或同伦变换下的不变量，直线和光滑曲线没有差别、圆与多边形没有差别。这一方面说明，拓扑学挖掘的是十分本质的几何性质，另一方面说明，如果需要细致的几何性质，必须要结合其他的几何学工具。

本章中，所有加粗的斜体字母表示向量或矩阵，黑体的数字零表示零向量或零矩阵，其他未加粗的斜体字母均代表数。 $\|\cdot\|$ 表示欧氏范数， \cdot 表示欧氏内积。

3.1 刚体运动和 Lie 群

无论在几何学还是力学，都经常需要建立坐标系，而建立坐标系的方式不是唯一的，同一个点在不同坐标系下的坐标之间，满足何种关系，是重要的问题。

定义 3.1 若映射 $\mathcal{T} : \mathbf{R}^n \rightarrow \mathbf{R}^n$ 满足对任意的 $\mathbf{x}, \mathbf{y} \in \mathbf{R}^n$ ，均有 $\|\mathcal{T}(\mathbf{x}) - \mathcal{T}(\mathbf{y})\| = \|\mathbf{x} - \mathbf{y}\|$ ，则称映射 \mathcal{T} 为一个刚体运动。

定理 3.1 取定 $\mathbf{a} \in \mathbf{R}^n$ ，平移变换 $\mathcal{T}(\mathbf{x}) = \mathbf{x} + \mathbf{a}$ 是刚体运动。

证明可直接通过定义得到。

定理 3.2 \mathbf{R}^n 正交变换是刚体运动。

证明 正交变换是保持范数的线性变换，所以 $\|\mathcal{T}(\mathbf{x}) - \mathcal{T}(\mathbf{y})\| = \|\mathcal{T}(\mathbf{x} - \mathbf{y})\| = \|\mathbf{x} - \mathbf{y}\|$ 。

定理 3.3 任意两个刚体运动的复合，必定是刚体运动。

证明 根据定义，对任意的 $\mathbf{x}, \mathbf{y} \in \mathbf{R}^n$ ，两个刚体运动 \mathcal{T}_1 和 \mathcal{T}_2 的复合满足

$$\|\mathcal{T}_1 \circ \mathcal{T}_2(\mathbf{x}) - \mathcal{T}_1 \circ \mathcal{T}_2(\mathbf{y})\| = \|\mathcal{T}_2(\mathbf{x}) - \mathcal{T}_2(\mathbf{y})\| = \|\mathbf{x} - \mathbf{y}\|,$$

故 $\mathcal{T}_1 \circ \mathcal{T}_2$ 是刚体运动。

引理 3.4 保持原点不变的刚体运动，必定是正交变换。

证明 设 \mathcal{T} 是保持原点不变的刚体运动，故对任意 $\mathbf{x}, \mathbf{y} \in \mathbf{R}^n$ ，有

$$\|\mathcal{T}(\mathbf{x})\| = \|\mathcal{T}(\mathbf{x}) - \mathcal{T}(\mathbf{0})\| = \|\mathbf{x} - \mathbf{0}\| = \|\mathbf{x}\|,$$

$$2\mathbf{x} \cdot \mathbf{y} = \|\mathbf{x}\|^2 + \|\mathbf{y}\|^2 - \|\mathbf{x} - \mathbf{y}\|^2 = \|\mathcal{T}(\mathbf{x})\|^2 + \|\mathcal{T}(\mathbf{y})\|^2 - \|\mathcal{T}(\mathbf{x}) - \mathcal{T}(\mathbf{y})\|^2 = 2\mathcal{T}(\mathbf{x}) \cdot \mathcal{T}(\mathbf{y}),$$

即映射 \mathcal{T} 保持欧氏范数和内积。只须再证明 \mathcal{T} 是线性变换。为此，取 \mathbf{R}^n 的标准正交基 $\mathbf{e}_1, \mathbf{e}_2, \dots, \mathbf{e}_n$ ，则 $\mathcal{T}(\mathbf{e}_1), \mathcal{T}(\mathbf{e}_2), \dots, \mathcal{T}(\mathbf{e}_n)$ 也是 \mathbf{R}^n 的标准正交基。任取 $\mathbf{v} \in \mathbf{R}^n$ ，记

$a_k = \mathbf{v} \cdot \mathbf{e}_k$ ，于是

$$\mathbf{v} = a_1 \mathbf{e}_1 + a_2 \mathbf{e}_2 + \cdots + a_n \mathbf{e}_n,$$

又因为 $\mathcal{T}(\mathbf{v}) \cdot \mathcal{T}(\mathbf{e}_k) = \mathbf{v} \cdot \mathbf{e}_k = a_k$ ，故

$$\mathcal{T}(\mathbf{v}) = a_1 \mathcal{T}(\mathbf{e}_1) + a_2 \mathcal{T}(\mathbf{e}_2) + \cdots + a_n \mathcal{T}(\mathbf{e}_n),$$

故 \mathcal{T} 是线性变换。证毕。

定理 3.5 任何刚体运动必定是平移变换和正交变换的复合。

证明 对任意刚体运动 \mathcal{T} ，考虑映射 $\mathcal{S}(\mathbf{x}) = \mathcal{T}(\mathbf{x}) - \mathcal{T}(\mathbf{0})$ ，则 \mathcal{S} 是保持原点不变的刚体运动，从而是正交变换。于是 \mathcal{T} 是正交变换和平移变换的复合。证毕。

定理 3.5 是对刚体变换的本质刻画。

定理 3.6 \mathbf{R}^n 上的刚体运动全体，关于映射的复合运算构成群。

证明 首先，根据定义，两个刚体运动的复合是刚体运动，从而映射的复合是全体刚体运动构成的集合上的一个二元运算。映射的复合运算满足结合律。恒同变换显然是刚体运动，于是该集合存在单位元。最后根据刚体运动必定是平移和正交变换的复合，而平移和正交变换都是可逆的，且逆映射分别是平移和正交变换，故刚体运动的逆映射也是刚体运动。证毕。

\mathbf{R}^n 上全体刚体运动构成的群具有连续统势基数。其中，全体平移变换构成的子群具有连续统势基数是容易证明的。

定理 3.7 \mathbf{R}^n 上全体平移变换构成的子群 $T(n)$ 具有连续统势基数。

证明 对任意 $\mathbf{a} \in \mathbf{R}^n$ ，记 $\mathcal{T}_{\mathbf{a}}: \mathbf{x} \mapsto \mathbf{x} + \mathbf{a}$ ，显然， $f: \mathbf{a} \mapsto \mathcal{T}_{\mathbf{a}}$ 是 \mathbf{R}^n 到 $T(n)$ 的双射。

利用上述 \mathbf{R}^n 与 $T(n)$ 间的双射 f ，可以对 $T(n)$ 赋予拓扑，使得 f 成为同胚。事实上，只须规定 U 为 $T(n)$ 上的开集，当且仅当 $f^{-1}(U)$ 为 \mathbf{R}^n 的开集即可。由于 \mathbf{R}^n 关于向量的加法构成群，且群运算关于 \mathbf{R}^n 的拓扑是光滑¹的，于是 $T(n)$ 的群运算关于 $T(n)$ 的拓扑也连续。像 $T(n)$ 这样，局部与 \mathbf{R}^n 同胚（事实上这就是本章第 4 节将要提及的流形），且群运算²关于自身的拓扑是光滑的群，称为 **Lie 群**。关于 Lie 群的严格定义这里不再展开（参见文献 [8]）。

定理 3.8 \mathbf{R}^n 上全体正交变换构成的群 $O(n, \mathbf{R})$ 为 Lie 群。

该定理的证明要比证明 $T(n)$ 为 Lie 群复杂得多。这里仅仅简要说明一下如何建立 $O(n, \mathbf{R})$ 与欧氏空间的局部同胚。考虑所有 n 阶反对称实矩阵构成的线性空间（记作 $\mathfrak{so}(n, \mathbf{R})$ ），以及映射

$$\exp: \mathfrak{so}(n, \mathbf{R}) \rightarrow O(n, \mathbf{R}),$$

$$\mathbf{A} \mapsto \sum_{k=0}^{\infty} \frac{\mathbf{A}^k}{k!}.$$

可以证明上述定义式中的矩阵幂级数是收敛的（参见文献 [2]），且行列式为 1，该映射称为 **指数映射**，是局部同胚。而 $\mathfrak{so}(n, \mathbf{R})$ 作为线性空间与 $\mathbf{R}^{\frac{n(n-1)}{2}}$ 同构，故 $O(n, \mathbf{R})$ 与 $\mathbf{R}^{\frac{n(n-1)}{2}}$ 局部同

¹光滑是指映射自身及其各阶导数都是连续的。

²与 \mathbf{R}^n 的同胚映射未必需要是群同构。

胚, 从而是 Lie 群, 但不是交换群.

正交群和刚体运动有广泛的应用, 例如摄像头捕捉某个运动的对象, 如将其视为作刚体运动的几何体, 该几何体在不同的时刻位置以及呈现在摄像头前的形象都有不同, 要将不同的形象识别为同一几何体, 就需要识别出刚体运动.

SO(3) 除了矩阵形式外, 还有其他的表达形式, 例如 Euler 角表示法和四元数表示法等.

3.2 曲线

考虑 3 维欧氏空间 \mathbf{R}^3 中的光滑曲线 C , 假定其具有连续可导的参数方程

$$\mathbf{P}(t) = \begin{cases} x = x(t) \\ y = y(t) \\ z = z(t) \end{cases} \quad t \in (a, b), \quad (3.1)$$

且对一切 t , $(x'(t), y'(t), z'(t))^T \neq \mathbf{0}$. 这种参数称为**正则参数**. 从物理上看, 若将 $\mathbf{P}(t)$ 视作质点的位移, t 视为时间变量, 则 $(x'(t), y'(t), z'(t))^T \neq \mathbf{0}$ 表示该质点在任意时刻的速度均不为零.

对于任意的光滑曲线, 正则的参数方程存在但不唯一, 显然质点可以任意的速度不停息地沿曲线前行, 于是得到一个正则参数方程, 而当质点以另一种速度沿同一曲线前行, 就得到不同的正则参数方程. 正则参数方程, 确保质点不会走“回头路”, 试想质点如果走了一段后又沿原路返回, 只要其速度是连续变化的, 必定要经过一个停止的时刻.

本节中, 默认所有的参数方程为正则的.

在所有的正则参数方程中, 有一种特殊情形, 质点在所有时刻的速率都为 1, 这种参数当然是存在的, 称为**弧长参数**, 习惯上记为 s .

记 $\mathbf{P}(s) = (x(s), y(s), z(s))^T$ 为曲线的弧长参数方程, 记 $\mathbf{T}(s) = \mathbf{P}'(s)$ 称为曲线的**切向量**, 则 $1 = \|\mathbf{T}(s)\|^2 = \mathbf{T}(s) \cdot \mathbf{T}(s)$. 对该式两边关于 s 求导, 得

$$0 = \mathbf{T}'(s) \cdot \mathbf{T}(s) + \mathbf{T}(s) \cdot \mathbf{T}'(s) = 2\mathbf{T}'(s) \cdot \mathbf{T}(s).$$

于是向量 $\mathbf{T}'(s)$ 与 $\mathbf{T}(s)$ 正交, 记

$$\kappa(s) = \|\mathbf{T}'(s)\|,$$

称为曲线的**曲率**. 当曲率 $\kappa(s) \neq 0$ 时, 可令

$$\mathbf{T}'(s) = \kappa(s)\mathbf{N}(s), \quad (3.2)$$

这里 $\mathbf{N}(s)$ 是与 $\mathbf{T}'(s)$ 方向相同的单位向量, 称为曲线的**法向量**.

直观上, 切向量就是质点速度, $\kappa(s)\mathbf{N}(s)$ 就是质点的加速度, 由于质点是匀速率运动, 因此在每个时刻只有速度的方向发生变化, 从而在小范围内, 可近似认为质点在作半径为 $(\kappa(s))^{-1}$ (称为**曲率半径**) 的圆周运动. 曲率越大, 曲率半径越小, 弯曲程度越高, 因此曲率刻画了曲线弯曲的程度. 特别, **直线的曲率恒为零**.

进一步, 考虑法向量的导数 $\mathbf{N}'(s)$. 同样由于 $\|\mathbf{N}(s)\|^2 = \mathbf{N}(s) \cdot \mathbf{N}(s) = 1$, 于是 $\mathbf{N}(s) \cdot \mathbf{N}'(s) = 0$, 即 $\mathbf{N}'(s)$ 与 $\mathbf{N}(s)$ 正交. 令 $\mathbf{B}(s) = \mathbf{T}(s) \times \mathbf{N}(s)$, 称为曲线的**次法向量**, 则 $\mathbf{N}'(s)$ 必

定落在切向量 $T(s)$ 和次法向量 $B(s)$ 张成的平面（称为曲线的次切平面）内。令

$$\tau(s) = N'(s) \cdot B(s),$$

称为曲线的挠率。因为 $N(s) \cdot T(s) = 0$ ，所以

$$N'(s) \cdot T(s) + N(s) \cdot T'(s) = N'(s) \cdot T(s) + N(s) \cdot \kappa(s)N(s) = N'(s) \cdot T(s) + \kappa(s),$$

即 $N'(s) \cdot T(s) = -\kappa(s)$ 。从而

$$N'(s) = -\kappa(s)T(s) + \tau(s)B(s). \quad (3.3)$$

根据式 (3.3)，如果挠率（局部）为零，意味着法向量 $N(s)$ （局部）只在 $N(s)$ 与切向量 $T(s)$ 张成的平面（称为密切平面）内变化，于是曲线（局部）落在密切平面内。从而，挠率刻画了曲线偏离密切平面的程度。特别，平面曲线的挠率恒为零。

类似上面的推导，可以证明（留作习题）

$$B'(s) = -\tau(s)N(s). \quad (3.4)$$

由于对每个固定的 s ，向量组 $\{T(s), N(s), B(s)\}$ 都构成 \mathbf{R}^3 的一组标准正交基（标架），故 $(T(s), N(s), B(s))$ 为曲线 C 上的一个标准正交标架场¹，称为曲线 C 上的 **Frenet**² 标架。考虑 Frenet 标架关于弧长参数的导数，根据式 (3.2)、(3.3) 和 (3.4)，得

$$\frac{d}{ds} (T(s), N(s), B(s)) = (T(s), N(s), B(s)) \begin{pmatrix} & -\kappa(s) & \\ \kappa(s) & & -\tau(s) \\ & \tau(s) & \end{pmatrix}. \quad (3.5)$$

式 (3.5) 称为 **Frenet 公式**，该公式可看作关于 $T(s), N(s), B(s)$ 的变系数线性常微分方程组。

如何计算一条参数曲线的曲率和挠率，是十分重要的问题。虽然，利用弧长参数导出曲线的曲率和挠率非常方便，但绝大部分曲线的参数方程都不是弧长参数方程，而将非弧长参数转化为弧长参数，通常会导致参数方程的表达式变得十分冗长，因此需要考虑一般参数下，曲率和挠率的计算方法。

设 $P(t)$ 为曲线 C 的正则参数方程，弧长参数 s 为中间变量，则根据复合函数求导链式法则，得

$$P'(t) = \frac{dP}{ds} \frac{ds}{dt} = s'(t)T(s).$$

若将 $P(t)$ 视为质点的位移， t 视为时间变量，则 $P'(t)$ 表示质点的瞬时速度， $s'(t)$ 表示质点的瞬时速率。再次根据链式法则，得

$$P''(t) = s''(t)T(s) + (s'(t))^2 T'(s) = s''(t)T(s) + (s'(t))^2 \kappa(s)N(s). \quad (3.6)$$

此时 $P''(t)$ 表示质点的瞬时加速度，由上式可看出，一般参数下的加速度构成与弧长参数不同，此时加速度分为两部分，一部分是沿切向的，体现了速率的改变，一部分是沿法向的，体现了速度方向的改变。

由于所有与弧长参数 s 有关的量不易计算，故为求曲线在 $P(t)$ 点的曲率 $\kappa(s(t))$ ，须先消

¹物理上，将定义在集合 D 上的函数称为 D 上的一个场。如果该函数为数量值函数，则该场就称为数量场或标量场，该函数为向量值函数，则该场就称为向量场。这里 $(T(s), N(s), B(s))$ 是一个有序向量值函数组，且构成空间的一组基（标架），故称为标架场。

²全名为 Jean Frédéric Frenet (1816 - 1900)，法国数学家。

去式 (3.6) 有段含有的 $T(s)$ 的项, 为此有

$$\|\mathbf{P}'(t) \times \mathbf{P}''(t)\| = \|(s'(t))^3 \kappa(s) \mathbf{B}(s)\| = |s'(t)|^3 \kappa(s). \quad (3.7)$$

再消去上式中的 $s'(t)$, 注意到 $|s'(t)| = \|\mathbf{P}'(t)\|$, 得

$$\kappa(s(t)) = \frac{\|\mathbf{P}'(t) \times \mathbf{P}''(t)\|}{\|\mathbf{P}'(t)\|^3}. \quad (3.8)$$

为计算挠率, 须对 (3.6) 再次求导, 得

$$\mathbf{P}'''(t) = (s'''(t) - (s'(t))^3 \kappa^2(s)) \mathbf{T}(s) + \left(s'(t) s''(t) \kappa(s) + \frac{d}{dt}((s'(t))^2 \kappa(s)) \right) \mathbf{N}(s) + (s'(t))^3 \kappa(s) \tau(s) \mathbf{B}(s).$$

从而

$$\tau(s(t)) = \frac{\mathbf{P}'''(t) \cdot \mathbf{P}'(t) \times \mathbf{P}''(t)}{\|\mathbf{P}'(t) \times \mathbf{P}''(t)\|^2} = \frac{\det(\mathbf{P}'(t), \mathbf{P}''(t), \mathbf{P}'''(t))}{\|\mathbf{P}'(t) \times \mathbf{P}''(t)\|^2}. \quad (3.9)$$

曲率、挠率与速率、位置的不同在于, 后者只具有物理意义, 仅仅是物理量, 前者兼具几何意义, 是几何量. 曲率和挠率都是刚体运动下不变量, 而且可以进一步证明, 如果两条曲线曲率和挠率完全相同, 则两条曲线必定相差一个刚体运动, 即曲线由曲率和挠率完全决定. 这就是下面的曲线论基本定理.

定理 3.9 (曲线论基本定理) 设 $\kappa(s)$, $\tau(s)$ 为定义在 $[a, b]$ 上的连续可微函数, \mathbf{P}_0 为 \mathbf{R}^3 中一点, $(\mathbf{T}_0, \mathbf{N}_0, \mathbf{B}_0 = \mathbf{T}_0 \times \mathbf{N}_0)$ 为 \mathbf{R}^3 的一组标准正交基, 则存在唯一的参数曲线 $P(s)$ 和标架场 $(\mathbf{T}(s), \mathbf{N}(s), \mathbf{B}(s))$, 使得曲线 $P(s)$ 以 $s \in [a, b]$ 为弧长参数, 以 $\kappa(s)$, $\tau(s)$ 为曲率和挠率, 以 $(\mathbf{T}(s), \mathbf{N}(s), \mathbf{B}(s))$ 为 Frenet 标架, 且 $(\mathbf{P}(0), \mathbf{T}(0), \mathbf{N}(0), \mathbf{B}(0)) = (\mathbf{P}_0, \mathbf{T}_0, \mathbf{N}_0, \mathbf{B}_0)$.

该定理的证明 (参见 [7]) 可由线性常微分方程初值问题解的存在唯一性定理 (参见 [2]) 直接得到.

3.3 曲面

考虑 3 维欧氏空间 \mathbf{R}^3 中的光滑曲面 S , 假定其具有连续可导的参数方程

$$\mathbf{P}(u, v) = \begin{cases} x = x(u, v) \\ y = y(u, v) \\ z = z(u, v) \end{cases} \quad u, v \in D, \quad (3.10)$$

这里 D 是单连通区域, 且对任意 u, v , $\mathbf{P}_u \times \mathbf{P}_v \neq \mathbf{0}$, 其中 $\mathbf{P}_u, \mathbf{P}_v$ 分别表示 $\mathbf{P}(u, v)$ 关于 u, v 的偏导数. 记

$$\mathbf{n} = \frac{\mathbf{P}_u \times \mathbf{P}_v}{\|\mathbf{P}_u \times \mathbf{P}_v\|},$$

称为曲面在点 $\mathbf{P}(u, v)$ 的**法向量**, 由向量 \mathbf{P}_u 和 \mathbf{P}_v 张成的平面称为曲面在该点的**切平面**.

首先考虑曲面局部的度量性质. 任取曲面 $\mathbf{P}(u, v)$ 上一点以及一条经过该点的光滑曲线 $\mathbf{P}(t) = \mathbf{P}(u(t), v(t))$, 于是曲线在该点的切向量为

$$\mathbf{P}'(t) = \frac{d}{dt} \mathbf{P}(u(t), v(t)) = \mathbf{P}_u u' + \mathbf{P}_v v',$$

从而

$$\|\mathbf{P}'(t)\|^2 = \|\mathbf{P}_u\|^2(u')^2 + 2\mathbf{P}_u \cdot \mathbf{P}_v u'v' + \|\mathbf{P}_v\|^2(v')^2.$$

若记 $E(u, v) = \|\mathbf{P}_u\|^2$, $F(u, v) = \mathbf{P}_u \cdot \mathbf{P}_v$, $G(u, v) = \|\mathbf{P}_v\|^2$ (经常简记为 E, F, G), 则

$$\|\mathbf{P}'(t)\|^2 = \begin{pmatrix} u' & v' \end{pmatrix} \begin{pmatrix} E & F \\ F & G \end{pmatrix} \begin{pmatrix} u' \\ v' \end{pmatrix}.$$

于是, 过曲面上任意一点的曲线, 在这一点处的切向量的长度, 可表示为在该点的二次型, 其

对应的矩阵为 $\begin{pmatrix} E & F \\ F & G \end{pmatrix}$. 该矩阵依赖于坐标的选择, 即对同一个曲面的不同参数表示, 该矩

阵的形式通常不同. 借助一阶微分的形式不变性, 则可得到一个不依赖于坐标选择的量. 令

$$I = d\mathbf{P} \cdot d\mathbf{P} = E(du)^2 + 2Fdu dv + G(dv)^2,$$

这是不依赖于坐标的量, 称为曲面 S 的**第一基本形式**. 由于曲线的长度等于切向量长度的积分, 即只要第一基本形式确定, 表面上的任意一条曲线的长度就确定了, 因此第一基本形式刻画了曲面 S 上的度量.

对曲面 S 上的任意两点, 如果在所有连接这两个点且落在 S 上的曲线中, 存在长度最短的曲线, 则该曲线称为连接这两个点的**测地线**, 这条测地线的长度, 称为这两个点在曲线上的**距离**. 对平面而言, 连接两点的测地线就是线段, 对一般的曲面, 连接两个点的测地线则有可能不存在, 存在的情况下也有可能不唯一.

第一基本形式还不能刻画曲面的所有信息. 例如将平面弯折, 平面上所有曲线的长度都没有发生变化, 说明曲面的度量, 也就是第一基本形式没有发生改变, 然而该曲面在外围空间中的存在形式 (数学上称为嵌入方式) 变化了. 因此, 还需要寻求一种刻画曲面与外围空间关系的不变量.

曲面在外围空间中的弯曲可通过曲面上某些曲线的弯曲来刻画, 于是考虑曲面上曲线的曲率, 此时需要参数的二阶导数, 即

$$\mathbf{P}''(t) = \mathbf{P}_{uu}(u')^2 + 2\mathbf{P}_{uv}u'v' + \mathbf{P}_{vv}(v')^2 + \mathbf{P}_u u'' + \mathbf{P}_v v''. \quad (3.11)$$

因为曲线的法向量不仅依赖于点, 还依赖于曲线的具体形状, 特别曲线的法向量与曲面在同一点的法向量不一致. 为此, 需要考虑一类特殊的曲线——曲面被过法向量的平面所截得的曲线. 由于这类曲线是平面曲线, 故曲线的法向量 \mathbf{N} 必定落在该平面上 (见章末习题), 于是 $\mathbf{N} = \pm \mathbf{n}$ (注意两者未必相同, 因为曲线的法方向是向心加速度的方向, 但曲面的法向可能与之相反). 根据式 (3.6) 并将式 (3.11) 代入, 注意到 $\mathbf{P}_u \cdot \mathbf{n} = \mathbf{P}_v \cdot \mathbf{n} = 0$, 得曲线的曲率

$$\kappa = \frac{|\mathbf{P}'' \cdot \mathbf{n}|}{\|\mathbf{P}'\|^2} = \frac{L(u')^2 + 2Mu'v' + N(v')^2}{E(u')^2 + 2Fu'v' + G(v')^2}, \quad (3.12)$$

其中 $L = \mathbf{P}_{uu} \cdot \mathbf{n}$, $M = \mathbf{P}_{uv} \cdot \mathbf{n}$, $N = \mathbf{P}_{vv} \cdot \mathbf{n}$. 令

$$II = L(du)^2 + 2Mdudv + N(dv)^2,$$

该关于微分形式的二次型也是不依赖于坐标的量, 称为曲面 S 的**第二基本形式**. 事实上, 只须注意到

$$0 = (\mathbf{P}_u \cdot \mathbf{n})_u = \mathbf{P}_{uu} \cdot \mathbf{n} + \mathbf{P}_u \cdot \mathbf{n}_u,$$

故 $L = \mathbf{P}_{uu} \cdot \mathbf{n} = -\mathbf{P}_u \cdot \mathbf{n}_u$, 类似可得 $M = -\mathbf{P}_u \cdot \mathbf{n}_v = -\mathbf{P}_v \cdot \mathbf{n}_u$, $N = -\mathbf{P}_v \cdot \mathbf{n}_v$, 于是

$$II = -d\mathbf{P} \cdot d\mathbf{n}$$

是不依赖于坐标的.

注意到式 (3.12) 的分子和分母均为关于 u' 和 v' 的二次型, 于是对任意常数 k ,

$$\frac{L(ku')^2 + 2M(ku')(kv') + N(kv')^2}{E(ku')^2 + 2F(ku')(kv') + G(kv')^2} = \frac{L(u')^2 + 2Mu'v' + N(v')^2}{E(u')^2 + 2Fu'v' + G(v')^2},$$

从而 κ 的取值只依赖于 (u', v') 的方向, 故由式 (3.12) 得到的 κ 称为沿方向 (u', v') 的**法曲率**.

由于法曲率只依赖于方向, 故要考虑法曲率的取值范围, 可假设式 (3.12) 的分母为 1, 这样的方向构成一个有界闭集, 于是曲面上任意一点的法曲率存在最大值和最小值 (称为该点的**主曲率**), 主曲率的乘积称为曲面在该点的 **Gauss 曲率**. 通过线性代数的知识, 可以证明下面的结论.

定理 3.10 主曲率为方程 $\begin{vmatrix} \lambda E - L & \lambda F - M \\ \lambda F - M & \lambda G - N \end{vmatrix} = 0$ 的解, Gauss 曲率 $K = \frac{LN - M^2}{EG - F^2}$.

例 3.1 平面的 Gauss 曲率恒为 0.

例 3.2 半径为 R 的球面, Gauss 曲率恒为 $\frac{1}{R^2}$.

无论定义, 还是上述定理, 都显示 Gauss 曲率同时依赖于第一、二基本形式, 然而 Gauss 证明了一个惊人的结论, **Gauss 曲率由第一基本形式完全确定**, 该结论被称为**绝妙的定理**. 以绝妙作为定理的命名, 即便不能后无来者, 但肯定是前无古人了. 这也正是后世将这种曲率以 Gauss 命名的原因.

Gauss 绝妙定理的直接推论是, 曲面 S_1 如果可以等距地形变为曲面 S_2 (即要求曲面 S_1 上任何两点的距离, 与经变换后对应点在 S_2 上的距离相同), 则这两个曲面必定有相同的 Gauss 曲率¹. 这个结论的特例是, 平面和球面不存在等距形变.

一个很自然的问题是, 曲面的第一、二基本形式, 是否能像曲线的曲率、挠率那样, 完全决定曲面? 结论是否定的. 原因在于, 曲面的第一、二基本形式并不相互独立, 即若 E, F, G 和 L, M, N 是某个曲面第一、二基本形式中的函数, 则它们之间存在关联 (它们满足一对微分方程, 称为 **Gauss-Codazzi 方程**). 关于这一问题, 本节不再展开, 有兴趣的读者可以参考 [6].

3.4 流形和 Riemann 几何

上一节研究曲面的出发点是, 假定曲面在 3 维欧氏空间中, 这一假定并不是十分自然. 人类认识几何学是从测地²开始的, 而在人类最初研究测地的时期, 人类并不知道自己的生活

¹此时这两个曲面当然具有相同的第一基本形式, 但第一基本形式的表达方式严重依赖于坐标的选取, 因此很难判断两个形式是否相同, 而 Gauss 曲率是个函数, 虽然表达式仍然依赖于坐标的选取, 但判断两者是否相同要比判断第一基本形式是否相同的更具可行性.

²几何学在古希腊语的本意就是测地的技术, geometry 是古希腊语的音译, “几何”又是明代科学家徐光启给出的汉语音译.

在球面上，但这并不影响人类对测地的研究。事实上，在西方人认识到人类生活在球面上的时候，人类测地的水准已经非常高，那个年代的地图就是最好的证据。几何学家受地图思想的启发，得到了流形的概念。

流形概念的严格叙述涉及到较多的数学概念（参见文献 [1]），这里尝试给出流形的通俗解释。为此，先考虑地图的本质特点。首先，地图画出的是地球表面局部的平面拓扑图（例如中国地图，画出的是中国的邻域内的拓扑图，这是地球的一个局部，而上海地图画出的只有上海的邻域，更加局部），用数学概念说，即画地图的人将地球表面的某个局部同胚地对应到一个平面上。其次，不同局部的地图之间可能有公共部分，公共部分在不同的地图上的形象可能有差别，但拓扑上必须是同胚的，整个地球表面的拓扑信息，可以通过若干块局部地图，“拼接”得到，这些局部地图构成了地球表面的地图册。

几何学家将这一做法推广到一般的拓扑空间上。假如一个拓扑空间 M^1 存在某个开覆盖 $\{U_\alpha\}_{\alpha \in A}$ ，其中每一个开集 U_α 都与 \mathbf{R}^n 同胚，其同胚映射为 $\varphi_\alpha: \mathbf{R}^n \rightarrow U_\alpha$ （即每个局部可以“画”成一个 n 维欧氏空间图），而若 $U_\alpha \cap U_\beta \neq \emptyset$ ， $\varphi_\beta \circ \varphi_\alpha^{-1}$ 是 $U_\alpha \cap U_\beta \neq \emptyset$ 到其自身的同胚（即不同地图的公共部分相互之间同胚），则 M 称为一个 n 维流形， $\{(U_\alpha, \varphi_\alpha)\}_{\alpha \in A}$ 称为流形 M 的一个地图册²。

通常，地图册中只包含一幅地图的流形是平凡的，此时该流形必定与欧氏空间同胚（注意，单一的世界地图不是地球表面作为流形的地图册，这是因为单一的世界地图和地球表面不是同胚的，例如中国出版的世界地图，就将大西洋割成了左右两块）。例如球面的地图册至少需要 2 幅地图，环面的地图册中至少需要 4 幅地图。同一个流形，地图册的构造方式也不是唯一的，例如仅仅中国出版的世界地图册，就有很多不同的版本。

地图上并没有包含度量信息。关于这一点，很多读者会有异议，通常的地图上都标有比例尺，计算两点之间的距离，是可以通过刻度尺测量得到的。但这一做法并不精确，原因是地图并不与球面等距同胚，且根据 Gauss 绝妙定理，球面的局部不可能等距同胚于欧氏平面。因此，利用刻度尺测量地图上两点之间的距离，再乘以比例尺得到的结果，只适用于小范围的近似估计。流形上的度量信息，必须额外给出，其方式就是推广的第一基本形式

$$g = \sum_{i,j=1}^n g_{ij}(\mathbf{x}) dx^i dx^j, \quad (3.13)$$

该形式称为流形 M 上的 **Riemann 度量**，这里 $\mathbf{x} = (x^1, x^2, \dots, x^n)$ 是流形上的局部坐标（因 $p = \varphi_\alpha(\mathbf{x}) \in M$ ，于是 p 的局部邻域 U_α 中的点可以用坐标 \mathbf{x} 表示）， $(g_{ij}(\mathbf{x}))$ 是关于 \mathbf{x} 的光滑矩阵值函数，且对每一个 \mathbf{x} ， $(g_{ij}(\mathbf{x}))$ 作为矩阵是对称正定的³。赋予 Riemann 度量后的流形，称为 **Riemann 流形**。

类似 3 维曲面的结论，从 Riemann 度量就能够初步判定该流形是平坦的还是弯曲的，例如球面必定是弯曲的。之所以说“初步”，是因为仅从 Riemann 度量还不足以完全判定流形

¹该拓扑空间需要满足 T_2 -分离公理和第二可数公理，这是为了保证该拓扑空间的开集，既不要太少，也不要太多。

²流形的英文名称为 manifold，字面上的意思就是由地图册刻画的对象。

³对不同地图的交集部分， g 在不同坐标系下的形式还必须是一致的，数学上称之为满足相容性条件。

的弯曲性,例如圆柱面的 Riemann 度量和欧氏平面完全相同,但前者是弯曲的,后者是平坦的.借助 Riemann 度量可以得到的流形性质称为内蕴性质.通俗的说,生活在某个 Riemann 流形上的智慧生物,无须了解外面的世界,就可以得到的流形性质就是内蕴性质,正如人类在还不清楚自己生活在球面上的时候,就已经可以在大范围航海了,因为航海所需要的几何知识,基本都是内蕴的.

一个很自然的问题是,一个 n 维 Riemann 流形 M , 是否具有一种参数表示,即是否存在一个参数方程(称为 M 在 \mathbf{R}^m 中的等距嵌入)

$$P(x_1, x_2, \dots, x_n) \in \mathbf{R}^m, \quad (3.14)$$

使其 Riemann 度量恰好是该参数方程对应的第一基本形式?通俗地说, Riemann 流形 M 是否可以 \mathbf{R}^m 作为其外围空间?这一问题的第一个肯定的结论属于著名数学家 John Nash¹. 至于对不同的流形,其等距嵌入欧氏空间的维数最小是多少,是一个非常困难的问题,至今仍在研究中.换言之,即便一个 Riemann 流形是 2 维的,也未必能整体存在于 3 维欧氏空间中.

围绕 Riemann 流形产生的学科称为 Riemann 几何学,在物理学中有重要的应用.著名物理学家 Einstein 在构造时空模型时,将 4 维时空看作一个广义²的 Riemann 流形,最终得到了相对论.在优化问题中,数学家亦通过 Riemann 流形,将需要优化的问题,转化为 Riemann 流形上的测地线问题.

习题 3

1. 证明式 (3.4).
2. 证明:对平面曲线,其每一点的法向量都属于同一个平面.
3. 举一个 Gauss 曲率在一点小于零的例子.
4. 举一个 Gauss 曲率恒为零,但不是平面的例子.
5. 构造球面和环面的地图册.

¹约翰·纳什,全名 John Forbes Nash, Jr., 美国数学家,曾获 Nobel 经济学奖和 Abel 奖(数学界的最高荣誉之一),其传奇经历曾被拍成电影《美丽心灵》,2015 年在领取 Abel 奖返回美国,机场回家的路上遭遇车祸,与其夫人同时罹难.

²在时空模型中,对应的度量不是正定的,而是负惯性指数为 1 的.

参考文献

- [1] 陈省身, 陈维桓. 微分几何讲义 [M]. 北京: 北京大学出版社, 1983.
- [2] 丁同仁, 李承治. 常微分方程教程 (第二版) [M]. 北京: 高等教育出版社, 2004.
- [3] B. L., 范德瓦尔登. 代数学 I [M]. 丁石孙, 曾肯成, 郝钠新, 译. 北京: 科学出版社, 2009.
- [4] 林金坤. 拓扑学基础 [M]. 北京: 科学出版社, 1998.
- [5] 孟道骥. 高等代数与解析几何 [M]. 北京: 科学出版社, 1998.
- [6] 孟道骥, 梁科. 微分几何 [M]. 北京: 科学出版社, 1999.
- [7] 苏步青, 胡和生等. 微分几何 [M]. 北京: 高等教育出版社, 2016.
- [8] 项武义, 侯自新, 孟道骥 [M]. 李群讲义. 北京: 北京大学出版社, 1992.
- [9] 周矜君、韩静、狄艳媚. 复变函数与积分变换 [M], 第二版. 上海: 同济大学出版社, 2020.
- [10] 周矜君、吴群、殷俊锋. 矩阵分析 [M], 第二版. 上海: 同济大学出版社, 2023.
- [11] 周性伟. 实变函数 [M]. 北京: 科学出版社, 1998.